

OBJEDNÁVATEĽ:



DOKUMENTÁCIA NA STAVEBNÉ POVOLENIE 2141 – MOSTY A NADJAZDY

KATASTRÁLNE ÚZEMIE : Dlhá nad Váhom

214-00

STAVBA				
CESTA I/75 ŠAĽA-OBCHVAT				
ČASŤ STAVBY			MILETIČOVA 21, P.O. BOX 34 820 05 BRATISLAVA 25 TEL. : 02/5057 4703, FAX. : 02/5057 4798	
214-00 REKONŠTRUKCIA MOSTA NA CESTE II/573				
PRÍLOHA			STUPEŇ	ČÍSLO ZÁKAZKY
STATICKÝ VÝPOČET			DSP	1279/1154
OBJEDNÁVATEĽ			OKRES Šaľa	
SLOVENSKÁ SPRÁVA CIEST				
HLAVNÝ INŽ. PROJ. Ing. Marek ŠMELÍK	TECH. KONTROLA Ing. Ladislav Bača,	SÚRADNICOVÝ SYSTÉM JTSK	ČÍSLO PRÍLOHY	SÚPRAVA
ZODP. PROJ. Ing. Dušan Ďuriš, PhD	VED. ÚSEKU Ing. Peter ŽIAK	VÝŠKOVÝ SYSTÉM Bpv		
VYPRACOVAL Ing. Dušan Ďuriš, PhD	DÁTUM 11.2012	FORMÁT 47 A4		
			MIERKA -	

Obsah

1. Použité programy	2
2. Popis konštrukcie	2
2.1 Schéma mosta	3
3. Geologické pomery	3
3.1 Základové pomery	4
4. Postup výpočtu	4
5. Použité materiály	4
6. Výpočtový model	4
6.1 Okrajové podmienky	4
7. Zaťaženie	5
7.1 Stále zaťaženia	5
7.2 Premenné zaťaženia	5
8. Kombinácie	6
9. Posúdenie prvkov	8
9.1 Základová doska	8
9.2 Stropná dosky	12
9.3 Steny	15
9.4 Krídla	22
10. Príloha	27

Použitá normy a literatúra

STN EN 1990	Zásady navrhovania konštrukcií
STN EN 1990/A1/AC2	Zásady navrhovania konštrukcií , Zmena A1, Oprava AC2
STN EN 1991-2	Zaťaženie konštrukcií, časť 2. Zaťaženie mostov dopravou
STN EN 1991-1-4	Zaťaženie konštrukcií , Zaťaženie vetrom
STN EN 1991-1-5	Zaťaženie konštrukcií , Zaťaženie účinkami teploty
STN EN 1992-1-7	Zaťaženie konštrukcií , Mimoriadne zaťaženia
STN EN 1992-1-1	Navrhovanie betónových konštrukcií , Všeobecné pravidlá a pravidlá pre budovy
STN EN 1992-2	Navrhovanie betónových konštrukcií , Betónové mosty, navrhovanie, konštruovanie
STN EN 1997-1	Navrhovanie geotechnických konštrukcií, Všeobecné pravidlá
STN EN 1998-1	Navrhovanie konštrukcií na seizmickú odolnosť, Všeobecné pravidlá, seizmické zaťaženia a pravidlá pre pozemné stavby
STN EN 1998-2	Navrhovanie konštrukcií na seizmickú odolnosť

1. POUŽITÉ PROGRAMY

STRAP 2010 – výpočty MKP
GEO5 – geotechnické výpočty
MATHCAD – posudky, pomocné výpočty

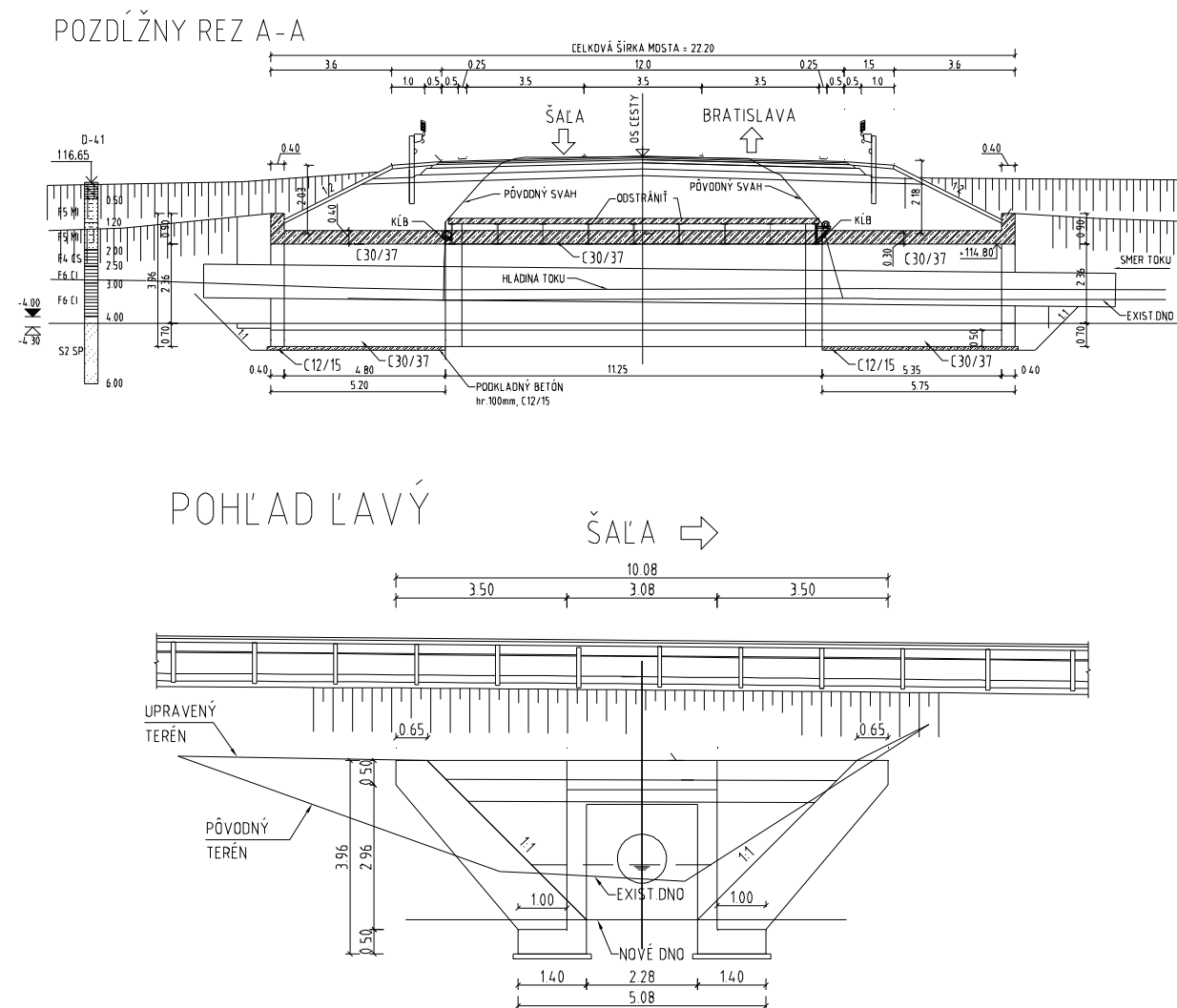
2. POPIS KONŠTRUKCIE

Konštrukcia je rekonštrukciou a rozšírením existujúcej konštrukcie. Existujúca konštrukcia je tvorená betónovými stenami na ktorých sú uložené ocelové nosníky. Nosníky sú spojené betónovou doskou. Pri rekonštrukcii sa počíta s odstránením dosky aj ocelových nosníkov a ich nahradením betónovou doskou hrúbky 0,4m. Časti, pod rozšírením sú tvorené otvorenými rámami. Rámy sú na vonkajších koncoch ukončené krídlami. Rám je tvorený základovou doskou, stenami a stropnou doskou.

Konštrukcia je tvorená troma časťami. Stredová časť nad existujúcou konštrukciou je tvorená iba doskou. Doska je kĺbovo pripojená k doske rámu. Krajné časti sú otvorené rámové konštrukcie. Hrúbka základu je 0,5m. Hrúbka stien je 0,4m a hrúbka dosky je 0,4m. Dĺžka rámu vľavo je 5,2m, dĺžka rámu vpravo je 5,75m. Stredná časť, doska nad existujúcou konštrukciou, pôsobí ako tiažlo. To má vplyv na spôsob vystuženia a množstvo výstuže.

Celá konštrukcia je navrhnutá ako železobetónová.

2.1 Schéma mosta



3. GEOLOGICKÉ POMERY

Pre most bola realizovaná sonda st41.

ST-41

- 0,0
- 0,5 m ornica
 - 1,2 m hlina svetlohnedá **F5/MI**
 - 2,0 m hlina tmavohnedá, tuhá **F5/MI**
 - 2,5 m íl svetlohnedý, piesčitý, plastický **F4/CS**
 - 3,0 m íl čierny (hnilokal) **F6/CL**
 - 4,0 m íl svetlohnedý, piesčitý, mäkký **F6/CL**
 - 6,0 m piesok hnedý **S2/SP**
 - 10,0

hladina podzemnej vody - narazená 4,3 m p.t., ustálená 4,0 m p.t.

vzorky: PV 6,0-6,2m

NV 1,6-1,7m, 3,6-3,7m

3.1 Základové pomery

Základová škára sa nachádza vo vrstve pieskov, pod hladinou podzemnej vody. Uľahnuté piesky triedy S3/S-F majú pri šírke 1,0m a hĺbke založenia 1,0m tabuľkovú únosnosť 350kPa. Pod hladinou podzemnej vody $350 \times 0,7 = 245 \text{ kPa}$. Deformačný modul $E_{\text{def}} = 50 \text{ MPa}$. Únosnosť vypočítaná programom GEO5 má hodnotu 307kPa. Výpočet je v prílohe. Únosnosť je závislá od hĺbky založenia. Hĺbka založenia existujúcej konštrukcie nie je známa. Nezámrazná hĺbka sa predpokladá v hĺbke 0,6m.

Predpokladá sa, že konštrukcia bude zasypaná štrkom G3, zhutneným na hodnotu $I_d > 0,67$. Pre výpočet tlaku zeminy v pokoji na rámových častiach sa uvažuje s hodnotami $\phi_{\text{ef}} = 30^\circ$, $\gamma_z = 19,0 \text{ kN/m}^3$.

4. POSTUP VÝPOČTU

Pre lineárnu analýzu sú použité dosko-stenové konečné prvky. Konštrukcia je uložená na pružnom podloží, definovanom Winklerovou konštantou k . Zaťažená je stálymi a premennými zaťažzeniami a tlakom zeminy v pokoji. Pre vytváranie kombinačných predpisov sú použité súbory STR/GEO B a STR/GEO C. Z výpočtu sadnutia v programe GEO5 je hodnota k stanovená na $33,0 \text{ MN/m}^3$. Nie sú známe rozmery existujúcej konštrukcie, preto sa nedajú stanoviť ani jej deformačné vlastnosti. Pomer medzi sadaním existujúcej konštrukcie a novej konštrukcie, vnáša prídavné namáhanie hlavne do dosky v strednej časti. Od tohto pomeru je závislá aj napätosť v základovej škáre. V ďalšom stupni bude potrebné zistiť skutočnú hĺbku založenia a šírku základu existujúcej konštrukcie.

5. POUŽITÉ MATERIÁLY

Betón : C30/37 – XC4, XD1, XF1(SK) – Cl0,4 – $D_{\text{max}} 32$

Výstuž : B500B

Krytie výstuže :

Dosková konštrukcia zo životnosťou 100 rokov, trieda konštrukcie S6 :

$c_{\text{min, dur}} = 45,0 \text{ mm}$, $\Delta c_{\text{dev}} = 10,0 \text{ mm} \rightarrow c_{\text{nom}} = 55,0 \text{ mm}$.

Použitý je profil výstuže $\phi 18$.

6. VÝPOČTOVÝ MODEL

Model je priestorová osová schéma konštrukcie, tvorená dosko-stenovými konečnými prvkami. Hrúbka prvkov pre základovú dosku je 0,5m, steny a krídla 0,4m a doska 0,4m. Modul pružnosti pre betón C30/37 je $E_{\text{cm}} = 33,0 \text{ GPa}$. Strednú časť, to je časť nad jestvujúcou konštrukciou tvorí iba doska. Doska je kĺbovo pripojená ku rámovým častiam aby bolo umožnené dosadenie novovybudovaných častí.

6.1 Okrajové podmienky

Konštrukcia je uložená na pružnom podloží, ktoré je definované Winklerovou konštantou. Spôsob akým je uložená existujúca konštrukcia je neznámy. V modeli sú existujúce časti uložené na pružinách s rovnakou tuhosťou ako nová konštrukcia.

7. ZAŤAŽENIE

7.1 Stále zaťaženia

1. Vlastná tiaž konštrukcie
2. Tiaž zasypu vrátane vrstiev vozovky
3. Tlak zeminy v pokoji bez priťaženia

Násyp pri krídle je rozdelený na pruhu metrovej šírky, z priemernej výšky pruhu je vypočítaná veľkosť tlaku zeminy v pokoji. Zaťaženie tlakom zeminy v pokoji na krídlo je vypočítané programom GEO5 a zohľadňuje stúpajúci terén. Tlak zeminy v pokoji je aplikovaný, len na rámové časti, existujúca konštrukcia nebude odkopaná.

7.2 Premenné zaťaženia

Zaťažovací model LM1

Tri návrhové zaťažovacie pruhy šírky 3,0m. V každom pruhu je tandem systém s dvoma nápravami, vzdialenými 1,2m, Vzdialenosť kolies nápravy je 2,0m a rovnomerné spojité zaťaženie q_k .

Kategorizačné koeficienty pre cestu II. triedy STN EN 1991-2/NA :

$$\alpha_{Q1,2,3} = 0,9$$

$$\alpha_{q1} = 0,9$$

$$\alpha_{q2,3} = 1,0$$

$$\text{Hodnoty v 1. pruhu : } 0,9 \times 300 = 270 \text{ kN, } q_k = 0,9 \times 9,0 = 8,1 \text{ kN/m}^2$$

$$\text{Hodnoty v 2. pruhu : } 0,9 \times 200 = 180 \text{ kN, } q_k = 0,9 \times 2,5 = 2,25 \text{ kN/m}^2$$

$$\text{Hodnoty v 3. pruhu : } 0,9 \times 100 = 90 \text{ kN, } q_k = 0,9 \times 2,5 = 2,25 \text{ kN/m}^2$$

Umiestnenie zaťaženia

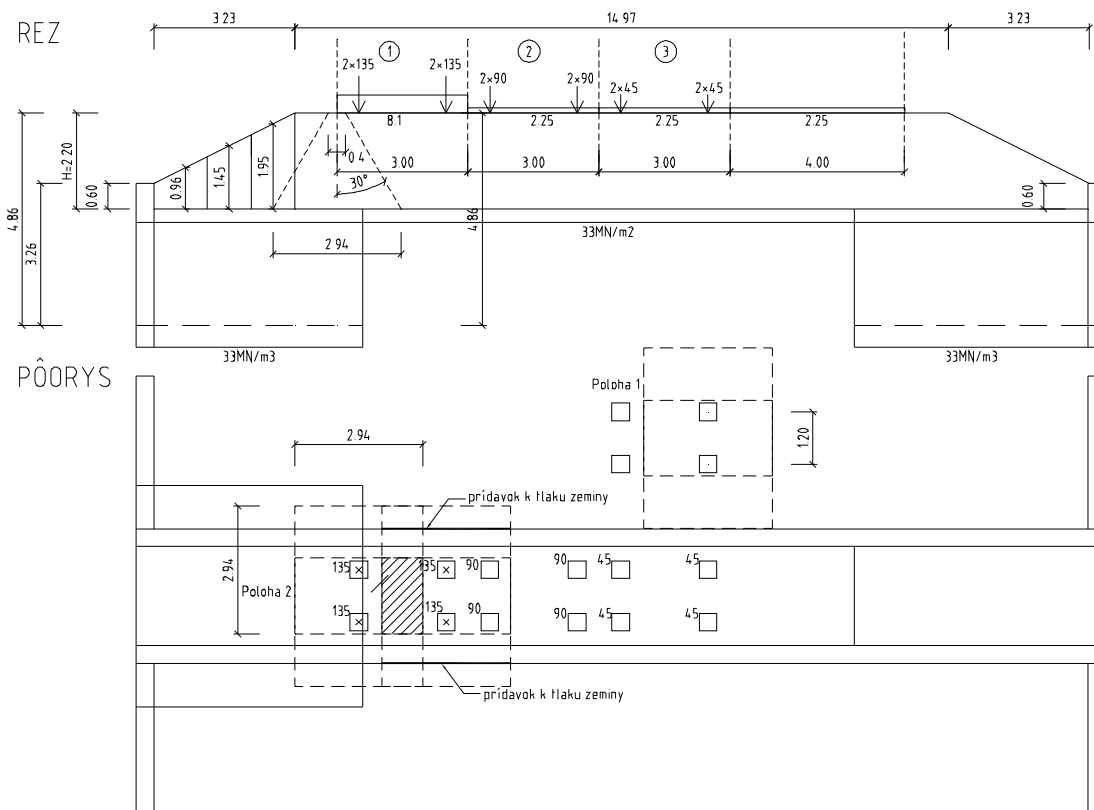
Pruh 1 s maximálnym zaťažením je striedavo umiestnený pri zvodidlách a v strede.

4. Pruh 1 pri ľavom zvodidle + zvýšenie tlaku zeminy v pokoji, poloha 1 v kolmom smere
5. Pruh 1 v strede + zvýšenie tlaku zeminy v pokoji, poloha 1 v kolmom smere
6. Pruh 1 pri pravom zvodidle + zvýšenie tlaku zeminy v pokoji, poloha 1 v kolmom smere
7. Pruh 1 pri ľavom zvodidle + zvýšenie tlaku zeminy v pokoji, poloha 2 v kolmom smere
8. Pruh 1 v strede + zvýšenie tlaku zeminy v pokoji, poloha 2 v kolmom smere
9. Pruh 1 pri pravom zvodidle + zvýšenie tlaku zeminy v pokoji, poloha 2 v kolmom smere

Poloha 1 v kolmom smere je poloha, keď zaťaženie po roznose generuje priťaženie konštrukcie z boku, ale nepôsobí ako zaťaženie zvislé.

Každá sila generuje okrem zvislého zaťaženia aj zaťaženie bočné, ako zvýšenie tlaku zeminy v pokoji. Pre každú silu je vytvorený roznášací štvorec, na základe jeho polohy je vytvorené zvislé zaťaženie na stropnú dosku a prídavok k tlaku zeminy v pokoji. Štvorce pre jednotlivé sily v jednotlivých pruhoch sa prekrývajú, účinky zaťaženia sa sčítajú.

Zaťaženie sa v násype roznáša pod uhlom 30° . Pri výške nadnásypu $H = 2,2\text{m}$ je strana štvorca na ktorú sa rozniesie sila $B = 0,4 + 2 \times 1,27\text{m} = 2,94\text{m}$.



10. Zaťaženie násypu na šikmých častiach snehom $s_k = 2,5 \text{ kN/m}^2$

11. Tlak vody

8. KOMBINÁCIE

Návrhové - Trvalá a dočasná návrhová situácia

Použitá je kombinačná schéma STR/GEO B.

$$\sum_i 1,0. G_{kj,sup} + \sum_i 1,35. G_{kj,inf} + 1,35. Q_{k1} + \sum 1,5 \cdot 0,7. p_w + 1,5 \cdot 0,7. s_k$$

Schéma STR/GEO C.

$$\sum_i 1,0. G_{kj,sup} + \sum_i 1,0. G_{kj,inf} + 1,3. Q_{k1} + \sum 1,3. 0,7. p_w + 1,3. 0,7. s_k$$

Charakteristická kombinácia :

$$\sum_i G_{kj,sup} + \sum_i G_{kj,inf} + Q_{k1} + \sum_{i \geq 2} 0,5 \cdot s_k + 0,7 \cdot p_w$$

Skoro-stále (kvázi – stála) :

$$\sum_j G_{kj,sup} + \sum_j G_{kj,inf}$$

Súčinitele ψ pre mosty pozemných komunikácií :

gr 1a - TS UDL	$y_0 = 0,75$	$y_1 = 0,75$	$y_2 = 0,0$
	$y_0 = 0,4$	$y_1 = 0,4$	$y_2 = 0,0$
Vietor	$y_0 = 0,6$	$y_1 = 0,2$	$y_2 = 0,0$
Teplota	$y_0 = 0,6$	$y_1 = 0,6$	$y_2 = 0,5$

9. POSÚDENIE PRVKOV

9.1 Základová doska

Navrhova situacia : Docasna & Trvala $\gamma_c := 1.5$ $\gamma_s := 1.15$

Beton : C30/37 $f_{ck} := 30$ $f_{cd} := \frac{f_{ck}}{\gamma_c} = 20$ $f_{ctm} := 2.9$ $E_{cm} := 33.0$

Vystuz : B500B $f_{yk} := 500.0$ $f_{yd} := \frac{f_{yk}}{\gamma_s} = 434.783$ $E_s := 200.0$

Minimalny stupeň vystuzenia : $A_{smin}(d) := 0.26 \frac{f_{ctm}}{f_{yk}} \cdot d$

Vystuzenie : $A_s(n, ds) := n \cdot \pi \cdot 0.25 ds^2$

Základová doska

Doska je rozdelená na dve oblasti s rôznym vystužením. Označené sú ZD a ZD-Z. Oblasti sú zobrazené v prílohe spolu s číslami elementov. Z znamená oblasť so zahustenou výstužou.

MSÚ

Výstuž je nadimenzovaná dimenzačným modulom programu STRAP, z obálky kombinácii STR/GEO B a STR/GEO C.

Zakladova doska : $h := 0.5$ $c_{nom} := 0.055$ $\phi_{x1} := 0.018$ $\phi_{x2} := 0.018$

$$d_{x1} := h - c_{nom} - 0.5\phi_{x1} = 0.436 \quad \dots \text{vystuz pozdlzne}$$

$$d_{x2} := h - c_{nom} - \phi_{x1} - 0.5\phi_{x2} = 0.418 \quad \dots \text{vystuz priecne}$$

$$A_{smin}(d_{x1}) = 6.575 \times 10^{-4} \quad A_{sprovX1} := A_s(5, \phi_{x1}) = 1.272 \times 10^{-3}$$

$$A_{smin}(d_{x2}) = 6.303 \times 10^{-4} \quad A_{sprovX2} := A_s(5, \phi_{x2}) = 1.272 \times 10^{-3}$$

Zahustene oblasti ds12 do každej medzery, rovnaka plocha ako -> ds18/100:

$$A_{smin}(d_{x1}) = 6.575 \times 10^{-4} \quad A_{sprovX1} := A_s(10, \phi_{x1}) = 2.545 \times 10^{-3}$$

V pozdĺžnom smere – cm²

Extrémy vyhodnotene pre : ZD-Z

asx+	asx-	komb.	el em.	Extrem.
15. 21	7. 18	C1- 4	915	asx+, max
0. 00	0. 00	C1- 1	997	asx+, mi n
12. 32	10. 14	C1- 7	2613	asx-, max
0. 43	0. 00	C1- 1	996	asx-, mi n

Extremy vyhodnotene pre : ZD

asx+	asx-	komb.	el em.	Extrem.
8. 95	5. 06	C1- 7	918	asx+, max
0. 00	0. 00	C1- 1	998	asx+, mi n
8. 95	5. 06	C1- 7	918	asx-, max
0. 00	0. 00	C1- 1	998	asx-, mi n

V priečnom smere

Extremy vyhodnotene pre : ZD-Z

asy+	asy-	komb.	elem.	Extrem.
4. 49	4. 76	C1- 16	2613	asy+, max
0. 00	2. 43	C1- 1	2530	asy+, mi n
4. 32	4. 81	C1- 7	2613	asy-, max
0. 58	0. 88	C1- 5	995	asy-, mi n

Extremy vyhodnotene pre : ZD

asy+	asy-	komb.	elem.	Extrem.
3. 22	3. 00	C1- 7	2596	asy+, max
0. 00	1. 28	C1- 1	971	asy+, mi n
0. 00	4. 66	C1- 7	1014	asy-, max
0. 00	0. 10	C1- 2	2423	asy-, mi n

Výstuž je zahustená na okrajoch dosky.

Odolnosť prierezu v šmyku, prierez bez výstuže.

Smyková unosnosť bez smykovej vystuže STN EN 1992-1-1 str.78

$$h := 0.5 \quad C_{Rdc} := \frac{0.18}{\gamma_C} = 0.12 \quad \dots \text{ empiricky súčiniteľ [MPa]}$$

$$\text{Pozdĺžna vystuž :} \quad \phi_{sl} := 0.018 \quad a_{sl} := 0.2 \quad A_{sl} := 0.25 \pi \cdot \phi_{sl}^2 \cdot \frac{1}{a_{sl}} = 1.272 \times 10^{-3}$$

$$\text{Nominalne krytie :} \quad c_{nom} := 0.055 \quad b_w := 1.0 \quad d := h - c_{nom} - \phi_{sl} \cdot 1.5 = 0.418$$

$$k := \min \left(1 + \sqrt{\frac{200}{d \cdot 1000}}, 2.0 \right) = 1.692 \quad \rho_1 := \frac{A_{sl}}{b_w \cdot d} = 3.044 \times 10^{-3}$$

$$v_{Ed} := 0.152 \text{ MN}$$

$$v_{min} := 0.035 k^{\frac{3}{2}} \cdot \sqrt{f_{ck}} = 0.422 \quad V_{Rdc} := \max \left[\left[C_{Rdc} \cdot k \cdot \left(100 \rho_1 f_{ck} \right)^{\frac{1}{3}} \right] \cdot b_w \cdot d, 0.035 k^{\frac{3}{2}} \cdot \sqrt{f_{ck}} \cdot b_w \cdot d \right]$$

$$V_{Rdc} = 0.177 < v_{Ed} = 0.152 \quad \text{Nie je potrebná smykova vystuž}$$

$$V_{Rdmax} := 0.5 \cdot b_w \cdot d \cdot 0.6 \cdot f_{cd} = 2.508 > V_{Rdc} = 0.177 \quad \text{VYHOVUJE}$$

MSP

Prvok : ZD

Materialy : C30/37 B500B

Hrúbka elementu = 0.500

$$\begin{array}{l} \text{Vystuženie -x1 : } A_s = 12.7235 \text{ cm}^2 \quad a = 0.082 \\ \text{pocet profil cnom} \\ \hline 5.000 \quad 18 \quad 0.073 \end{array}$$

$$\begin{array}{l} \text{Vystuženie +x1 : } A_s = 12.7235 \text{ cm}^2 \quad a = 0.082 \\ \text{pocet profil cnom} \\ \hline 5.000 \quad 18 \quad 0.073 \end{array}$$

Vystuzenie -x2 : $A_s = 12.7235\text{cm}^2$ $a = 0.064$
 pocet profil cnom

 5.000 18 0.055

Vystuzenie +x2 : $A_s = 12.7235\text{cm}^2$ $a = 0.064$
 pocet profil cnom

 5.000 18 0.055

Napätia v materialoch pri charakteristickej kombinácii : ZD
 Mek, x Nek, x x sigmaS sigmaC Komb. elem. Extrem

 16.8 223.8 0.000 127.2 0.0 C1-1 2735 m, max
 -7.0 -6.3 0.086 11.3 -0.5 C1-1 2549 m, min
 15.0 238.5 0.000 128.8 0.0 C1-1 922 n, max
 -2.0 -97.1 0.500 0.0 -0.1 C1-1 1002 n, min

Mek, y Nek, y x sigmaS sigmaC Komb. elem. Extrem

 0.7 0.5 0.065 1.5 0.0 C1-1 2735 m, max
 -42.2 -3.7 0.075 79.2 -2.7 C1-1 2550 m, min
 -39.0 68.1 0.054 102.9 -2.4 C1-1 1014 n, max
 -41.4 -8.0 0.077 76.1 -2.7 C1-1 2551 n, min

Sirka trhliny pri skoro-stalej kombinácii : ZD

Mqp, x	Nqp, x	x	sigmaS	sr, max	wk	Komb.	elem.	Extrem
15.4	210.4	0.000	118.8	0.846	0.30	C1-1	2437	m, max
-5.4	-3.2	0.081	9.5	0.584	0.02	C1-1	2515	m, min
15.4	210.4	0.000	118.8	0.846	0.30	C1-1	2437	n, max
-1.6	-88.4	0.500	-0.1	0.000	0.00	C1-1	2525	n, min

Mqp, y	Nqp, y	x	sigmaS	sr, max	wk	Komb.	elem.	Extrem
0.5	0.7	0.059	1.3	0.540	0.00	C1-1	922	m, max
-34.0	4.3	0.072	66.9	0.530	0.11	C1-1	2513	m, min
-28.1	58.7	0.051	78.0	0.547	0.13	C1-1	1014	n, max
-33.4	-0.1	0.074	63.9	0.528	0.10	C1-1	2634	n, min

Prvok : ZD-Z

Materialy : C30/37 B500B

Hrubka elementu = 0.500

Vystuzenie -x1 : $A_s = 25.4469\text{cm}^2$ $a = 0.082$
 pocet profil cnom

 10.000 18 0.073

Vystuzenie +x1 : $A_s = 25.4469\text{cm}^2$ $a = 0.082$
 pocet profil cnom

 10.000 18 0.073

Vystuzenie -x2 : $A_s = 12.7235\text{cm}^2$ $a = 0.064$
 pocet profil cnom

 5.000 18 0.055

Vystuzenie +x2 : $A_s = 12.7235\text{cm}^2$ $a = 0.064$
 pocet profil cnom

 5.000 18 0.055

Napätia v materialoch pri charakteristickej kombinácii : ZD-Z							
Mek, x	Nek, x	x	sigmaS	sigmaC	Komb.	el em.	Extrem
54.4	592.6	0.000	180.1	0.0	C1-4	915	m, max
-0.9	-107.9	0.500	-0.8	-0.2	C1-1	2539	m, min
54.4	592.6	0.000	180.1	0.0	C1-4	915	n, max
10.4	-177.4	0.500	-1.1	-0.6	C1-1	997	n, min

Mek, y	Nek, y	x	sigmaS	sigmaC	Komb.	el em.	Extrem
3.7	-48.3	0.500	-0.2	-0.2	C1-4	955	m, max
-34.7	-1.5	0.075	65.9	-2.2	C1-1	2539	m, min
1.5	67.9	0.000	29.9	0.0	C1-4	936	n, max
2.9	-59.7	0.500	-0.4	-0.2	C1-1	955	n, min

Sirka trhliny pri skoro-stalej kombinácii : ZD-Z									
Mqp, x	Nqp, x	x	sigmaS	sr, max	wk	Komb.	elem.	Extrem	
44.6	567.3	0.000	163.6	0.539	0.26	C1-1	2444	m, max	
-0.5	-106.9	0.500	-1.0	0.000	0.00	C1-1	2648	m, min	
44.6	567.3	0.000	163.6	0.539	0.26	C1-1	2444	n, max	
10.1	-169.9	0.500	-1.0	0.000	0.00	C1-1	2530	n, min	

Mqp, y	Nqp, y	x	sigmaS	sr, max	wk	Komb.	el em.	Extrem
3.1	-47.5	0.500	-0.2	0.000	0.00	C1-1	2510	m, max
-31.5	0.5	0.074	60.4	0.529	0.10	C1-1	2526	m, min
1.1	64.6	0.000	27.7	0.873	0.07	C1-1	2465	n, max
2.8	-53.2	0.500	-0.3	0.000	0.00	C1-1	955	n, min

9.2 Stropná dosky

Dosky sú rozdelená na dve oblasti s rôznym vystužením. Označené sú D a D-Z. Oblasť sú zobrazené v prílohe spolu s číslami elementov. Z znamená oblasť so zahustenou výstužou.

MSÚ

Doska : $h := 0.4$ $c_{nom} := 0.055$ $\phi_{x1} := 0.018$ $\phi_{x2} := 0.018$

$$d_{x1} := h - c_{nom} - 0.5\phi_{x2} = 0.336 \quad \dots \text{vystuz pozdizne}$$

$$d_{x2} := h - c_{nom} - \phi_{x2} - 0.5\phi_{x1} = 0.318 \quad \dots \text{vystuz priecne}$$

$$A_{smin}(d_{x1}) = 5.067 \times 10^{-4} \quad A_{sprovX1} := A_s(5, \phi_{x1}) = 1.272 \times 10^{-3}$$

$$A_{smin}(d_{x2}) = 4.795 \times 10^{-4} \quad A_{sprovX2} := A_s(5, \phi_{x2}) = 1.272 \times 10^{-3}$$

Zahustene oblasti -> ds18/100:

$$A_{smin}(d_{x1}) = 5.067 \times 10^{-4} \quad A_{sprovX1} := A_s(10, \phi_{x1}) = 2.545 \times 10^{-3}$$

$$A_{smin}(d_{x2}) = 4.795 \times 10^{-4} \quad A_{sprovX2} := A_s(10, \phi_{x2}) = 2.545 \times 10^{-3}$$

V pozdĺžnom smere:

Extremy vyhodnotene pre : D

asx+	asx-	komb.	elem.	Extrem.
6. 87	6. 00	C1- 7	64	asx+, max
0. 00	0. 00	C1- 1	87	asx+, mi n
6. 33	6. 14	C1- 10	64	asx-, max
0. 68	0. 00	C1- 1	65	asx-, mi n

Extremy vyhodnotene pre : D-Z

asx+	asx-	komb.	elem.	Extrem.
15. 19	12. 13	C1- 10	245	asx+, max
0. 01	4. 77	C1- 3	493	asx+, mi n
15. 19	12. 13	C1- 10	245	asx-, max
5. 17	0. 00	C1- 1	275	asx-, mi n

V priečnom smere:

Extremy vyhodnotene pre : D

asy+	asy-	komb.	elem.	Extrem.
7. 58	0. 00	C1- 7	64	asy+, max
0. 00	0. 00	C1- 1	45	asy+, mi n
0. 00	2. 70	C1- 7	144	asy-, max
0. 00	0. 00	C1- 1	45	asy-, mi n

Extremy vyhodnotene pre : D-Z

asy+	asy-	komb.	elem.	Extrem.
9. 84	5. 03	C1- 10	245	asy+, max
0. 00	1. 83	C1- 1	251	asy+, mi n
0. 00	8. 10	C1- 8	481	asy-, max
0. 41	0. 00	C1- 4	425	asy-, mi n

Odolnosť prierezu v šmyku, prierez bez výstuže.

Smyková unosnosť bez smykovej vystuže STN EN 1992-1-1 str.78

$$h := 0.4 \quad C_{Rdc} := \frac{0.18}{\gamma_C} = 0.12 \quad \dots \text{ empiricky súčiniteľ [MPa]}$$

$$\text{Pozdĺžna vystuž : } \phi_{sl} := 0.018 \quad a_{sl} := 0.2 \quad A_{sl} := 0.25 \pi \cdot \phi_{sl}^2 \cdot \frac{1}{a_{sl}} = 1.272 \times 10^{-3}$$

$$\text{Nominalne krytie : } c_{nom} := 0.055 \quad b_w := 1.0 \quad d := h - c_{nom} - \phi_{sl} \cdot 1.5 = 0.318$$

$$k := \min \left(1 + \sqrt{\frac{200}{d \cdot 1000}}, 2.0 \right) = 1.793 \quad \rho_1 := \frac{A_{sl}}{b_w \cdot d} = 4.001 \times 10^{-3}$$

$$v_{Ed} := 0.05 \quad \text{MN}$$

$$v_{min} := 0.035 k^2 \cdot \sqrt{f_{ck}} = 0.46 \quad V_{Rdc} := \max \left[\left[C_{Rdc} \cdot k \cdot (100 \rho_1 f_{ck})^{\frac{1}{3}} \right] \cdot b_w \cdot d, 0.035 k^2 \cdot \sqrt{f_{ck}} \cdot b_w \cdot d \right]$$

$$V_{Rdc} = 0.157 < v_{Ed} = 0.05 \quad \text{Nie je potrebná smyková vystuž}$$

$$V_{Rdmax} := 0.5 \cdot b_w \cdot d \cdot 0.6 \cdot f_{cd} = 1.908 > V_{Rdc} = 0.157 \quad \text{VYHOVUJE}$$

MSP

Prvok : D

Materialy : C30/37 B500B

Hrúbka elementu = 0.400

Vystuženie -x1 : $A_s = 12.7235 \text{ cm}^2$ $a = 0.064$

pocet	profil	cnom
5.000	18	0.055

Vystuženie +x1 : $A_s = 12.7235 \text{ cm}^2$ $a = 0.064$

pocet	profil	cnom
5.000	18	0.055

Vystuženie -x2 : $A_s = 12.7235 \text{ cm}^2$ $a = 0.082$

pocet	profil	cnom
5.000	18	0.073

Vystuženie +x2 : $A_s = 12.7235 \text{ cm}^2$ $a = 0.082$

pocet	profil	cnom
5.000	18	0.073

Napatia v materialoch pri charakteristickej kombinácii : D

Mek, x	Nek, x	x	sigmaS	sigmaC	Komb.	elem.	Extrem
38.7	247.0	0.026	203.0	-2.8	C1-4	225	m, max
-5.0	85.8	0.000	48.3	0.0	C1-4	244	m, min
22.4	298.1	0.000	181.9	0.0	C1-4	47	n, max
10.5	-138.9	0.376	-0.5	-0.7	C1-4	128	n, min

Mek, y	Nek, y	x	sigmaS	sigmaC	Komb.	elem.	Extrem
84.2	-862.0	0.310	0.9	-5.4	C1-4	45	m, max
-21.4	-55.7	0.090	32.6	-2.1	C1-1	144	m, min
18.4	9.6	0.061	52.3	-2.0	C1-4	798	n, max
84.2	-862.0	0.310	0.9	-5.4	C1-4	45	n, min

Sirka trhliny pri skoro-stalej kombinácii : D									
Mqp, x	Nqp, x	x	sigmaS	sr, max	wk	Komb.	el em.	Extrem	
36.7	242.5	0.025	196.0	0.487	0.29	C1-1	45	m, max	
-4.7	172.6	0.000	81.3	0.783	0.19	C1-1	64	m, min	
19.7	287.9	0.000	170.0	0.630	0.32	C1-1	47	n, max	
9.2	-135.6	0.398	-0.6	0.189	0.00	C1-1	128	n, min	

Mqp, y	Nqp, y	x	sigmaS	sr, max	wk	Komb.	el em.	Extrem	
76.1	-784.7	0.312	0.6	0.319	0.00	C1-1	45	m, max	
-2.8	-35.7	0.367	-0.2	0.274	0.00	C1-1	144	m, min	
18.5	9.5	0.061	52.5	0.520	0.08	C1-1	820	n, max	
76.1	-784.7	0.312	0.6	0.319	0.00	C1-1	45	n, min	

Prvok : D-Z

Materialy : C30/37 B500B

Hrubka elementu = 0.400

Vystuzenie -x1 : As = 25.4469cm² a = 0.064
pocet profil cnom

10.000 18 0.055

Vystuzenie +x1 : As = 25.4469cm² a = 0.064
pocet profil cnom

10.000 18 0.055

Vystuzenie -x2 : As = 12.7235cm² a = 0.082
pocet profil cnom

5.000 18 0.073

Vystuzenie +x2 : As = 12.7235cm² a = 0.082
pocet profil cnom

5.000 18 0.073

Napatia v materialoch pri charakteristickej kombinácii : D-Z								
Mek, x	Nek, x	x	sigmaS	sigmaC	Komb.	el em.	Extrem	
63.3	281.3	0.048	140.3	-3.8	C1-5	250	m, max	
-19.3	205.3	0.000	68.2	0.0	C1-3	493	m, min	
15.2	446.8	0.000	109.8	0.0	C1-4	245	n, max	
6.3	113.9	0.000	31.4	0.0	C1-1	605	n, min	

Mek, y	Nek, y	x	sigmaS	sigmaC	Komb.	el em.	Extrem	
36.1	-26.0	0.070	83.4	-3.9	C1-1	650	m, max	
-77.9	0.6	0.064	204.4	-8.5	C1-2	437	m, min	
5.8	26.1	0.039	26.8	-0.6	C1-4	291	n, max	
-22.2	-37.0	0.079	42.4	-2.3	C1-1	515	n, min	

Sirka trhliny pri skoro-stalej kombinácii : D-Z									
Mqp, x	Nqp, x	x	sigmaS	sr, max	wk	Komb.	el em.	Extrem	
61.1	222.2	0.054	125.0	0.326	0.12	C1-1	250	m, max	
4.6	175.0	0.000	41.0	0.487	0.06	C1-1	469	m, min	
14.9	327.9	0.000	85.9	0.445	0.11	C1-1	245	n, max	
4.6	174.5	0.000	41.0	0.486	0.06	C1-1	425	n, min	

Mqp, y	Nqp, y	x	sigmaS	sr, max	wk	Komb.	el em.	Extrem	
28.7	2.5	0.064	76.3	0.518	0.12	C1-1	289	m, max	
-45.1	1.7	0.064	118.9	0.517	0.18	C1-1	435	m, min	
-0.1	20.7	0.000	8.5	1.140	0.03	C1-1	291	n, max	
-6.9	-17.9	0.090	10.7	0.497	0.02	C1-1	469	n, min	

9.3 Steny

Steny sú rozdelené na dve oblasti s rôznym vystužením. Označené sú Si a Si-Z1 a Si-Z2. Oblasti sú zobrazené v prílohe spolu s číslami elementov. Z znamená oblasť so zahustenou výstužou. Označenie L je ľavá stena, stena umiestnená vyššie pri pohľade zhora.

MSÚ

Steny, Kridla : $h := 0.4$ $c_{nom} := 0.055$ $\phi_{x1} := 0.018$ $\phi_{x2} := 0.018$

$$d_{x1} := h - c_{nom} - 0.5\phi_{x2} = 0.336 \quad \dots \text{vystuz vodorovne}$$

$$d_{x2} := h - c_{nom} - \phi_{x2} - 0.5\phi_{x1} = 0.318 \quad \dots \text{vystuz zvislo}$$

$$A_{smin}(d_{x1}) = 5.067 \times 10^{-4} \quad A_{sprovX1} := A_s(5, \phi_{x1}) = 1.272 \times 10^{-3}$$

$$A_{smin}(d_{x2}) = 4.795 \times 10^{-4} \quad A_{sprovX2} := A_s(5, \phi_{x2}) = 1.272 \times 10^{-3}$$

Zahustene oblasti -> ds18/100:

$$A_{smin}(d_{x1}) = 5.067 \times 10^{-4} \quad A_{sprovX1} := A_s(10, \phi_{x1}) = 2.545 \times 10^{-3}$$

$$A_{smin}(d_{x2}) = 4.795 \times 10^{-4} \quad A_{sprovX2} := A_s(10, \phi_{x2}) = 2.545 \times 10^{-3}$$

Vo vodorovnom smere:

Extremy vyhodnotene pre : SL

asx+	asx-	komb.	elem.	Extrem.
5. 94	2. 28	C1- 16	1019	asx+, max
0. 00	1. 26	C1- 1	1127	asx+, mi n
5. 20	2. 43	C1- 16	1020	asx-, max
1. 92	0. 00	C1- 1	1028	asx-, mi n

Extremy vyhodnotene pre : SL-Z1

asx+	asx-	komb.	elem.	Extrem.
13. 47	0. 00	C1- 10	1256	asx+, max
0. 00	0. 00	C1- 1	1198	asx+, mi n
6. 92	2. 13	C1- 9	1018	asx-, max
12. 25	0. 00	C1- 1	1015	asx-, mi n

Extremy vyhodnotene pre : SL-Z2

asx+	asx-	komb.	elem.	Extrem.
5. 51	5. 11	C1- 10	1235	asx+, max
0. 00	1. 46	C1- 1	1131	asx+, mi n
5. 51	5. 11	C1- 10	1235	asx-, max
1. 63	0. 00	C1- 1	1031	asx-, mi n

Extremy vyhodnotene pre : SP

asx+	asx-	komb.	elem.	Extrem.
2. 42	5. 98	C1- 14	1723	asx+, max
0. 00	0. 00	C1- 1	1923	asx+, mi n
2. 23	6. 35	C1- 16	1723	asx-, max
1. 20	0. 00	C1- 1	1830	asx-, mi n

Extremy vyhodnotene pre : SP-Z1

asx+	asx-	komb.	elem.	Extrem.
2.30	7.26	C1-8	1722	asx+, max
0.00	13.25	C1-1	1719	asx+, min
0.00	13.91	C1-8	1719	asx-, max
0.00	0.00	C1-1	1919	asx-, min

Extremy vyhodnotene pre : SP-Z2

asx+	asx-	komb.	elem.	Extrem.
6.29	6.93	C1-10	1738	asx+, max
0.11	2.25	C1-1	1942	asx+, min
6.29	6.93	C1-10	1738	asx-, max
0.86	0.00	C1-1	1835	asx-, min

V zvislom smere:

Extremy vyhodnotene pre : SL

asy+	asy-	komb.	elem.	Extrem.
4.28	0.00	C1-4	1030	asy+, max
0.00	0.60	C1-1	1102	asy+, min
0.00	3.42	C1-7	1210	asy-, max
3.66	0.00	C1-1	1019	asy-, min

Extremy vyhodnotene pre : SL-Z1

asy+	asy-	komb.	elem.	Extrem.
4.55	0.00	C1-18	1017	asy+, max
0.00	0.00	C1-1	1035	asy+, min
1.14	2.85	C1-7	1195	asy-, max
2.42	0.00	C1-1	1015	asy-, min

Extremy vyhodnotene pre : SL-Z2

asy+	asy-	komb.	elem.	Extrem.
16.99	0.00	C1-10	1034	asy+, max
0.00	0.36	C1-1	1111	asy+, min
0.00	3.92	C1-10	1174	asy-, max
4.48	0.00	C1-1	1031	asy-, min

Extremy vyhodnotene pre : SP

asy+	asy-	komb.	elem.	Extrem.
3.35	0.00	C1-7	1931	asy+, max
0.00	4.00	C1-1	1723	asy+, min
0.00	4.93	C1-1	1734	asy-, max
0.00	0.00	C1-1	1788	asy-, min

Extremy vyhodnotene pre : SP-Z1

asy+	asy-	komb.	elem.	Extrem.
3.12	0.79	C1-7	1919	asy+, max
0.00	2.79	C1-1	1719	asy+, min
0.00	5.21	C1-16	1721	asy-, max
0.00	0.00	C1-1	1739	asy-, min

Extremy vyhodnotene pre : SP-Z2

asy+	asy-	komb.	elem.	Extrem.
3.33	0.00	C1-7	1935	asy+, max
0.00	5.29	C1-1	1735	asy+, min
0.00	18.44	C1-10	1738	asy-, max
0.29	0.00	C1-1	1815	asy-, min

Odolnosť prierezu v šmyku, prierez bez výstuže.

Smykova unosnosť bez smykovej vystuže STN EN 1992-1-1 str.78

$$h := 0.4 \quad C_{Rdc} := \frac{0.18}{\gamma_C} = 0.12 \quad \dots \text{ empiricky súčiniteľ [MPa]}$$

$$\text{Pozdĺžna vystuž : } \phi_{sl} := 0.018 \quad a_{sl} := 0.2 \quad A_{sl} := 0.25 \pi \cdot \phi_{sl}^2 \cdot \frac{1}{a_{sl}} = 1.272 \times 10^{-3}$$

$$\text{Nominalne krytie : } c_{nom} := 0.055 \quad b_w := 1.0 \quad d := h - c_{nom} - \phi_{sl} \cdot 1.5 = 0.318$$

$$k := \min \left(1 + \sqrt{\frac{200}{d \cdot 1000}}, 2.0 \right) = 1.793 \quad \rho_1 := \frac{A_{sl}}{b_w \cdot d} = 4.001 \times 10^{-3}$$

$$v_{Ed} := 0.047 \text{ MN}$$

$$v_{min} := 0.035 k^2 \cdot \sqrt{f_{ck}} = 0.46 \quad V_{Rdc} := \max \left[\left[C_{Rdc} \cdot k \cdot (100 \rho_1 f_{ck})^{\frac{1}{3}} \right] \cdot b_w \cdot d, 0.035 k^2 \cdot \sqrt{f_{ck}} \cdot b_w \cdot d \right]$$

$$V_{Rdc} = 0.157 < v_{Ed} = 0.047 \quad \text{Nie je potrebná smykova vystuž}$$

$$V_{Rdmax} := 0.5 \cdot b_w \cdot d \cdot 0.6 \cdot f_{cd} = 1.908 > V_{Rdc} = 0.157 \quad \text{VYHOVUJE}$$

MSP

Prvok : SL

Materialy : C30/37 B500B

Hrúbka elementu = 0.400

Vystuženie -x1 : $A_s = 12.7235 \text{ cm}^2$ $a = 0.082$
 počet profil cnom

 5.000 18 0.073

Vystuženie +x1 : $A_s = 12.7235 \text{ cm}^2$ $a = 0.082$
 počet profil cnom

 5.000 18 0.073

Vystuženie -x2 : $A_s = 12.7235 \text{ cm}^2$ $a = 0.064$
 počet profil cnom

 5.000 18 0.055

Vystuženie +x2 : $A_s = 12.7235 \text{ cm}^2$ $a = 0.064$
 počet profil cnom

 5.000 18 0.055

Napatia v materialoch pri charakteristickej kombinácii : SL							
Mek, x	Nek, x	x	sigmaS	sigmaC	Komb.	elem.	Extrem
13.6	215.5	0.000	130.1	0.0	C1-4	1020	m, max
-11.8	-7.6	0.070	27.7	-1.3	C1-1	1190	m, min
12.9	220.9	0.000	129.8	0.0	C1-4	1251	n, max
-3.1	-138.2	0.400	0.4	-0.2	C1-1	1220	n, min

Mek, y	Nek, y	x	sigmaS	sigmaC	Komb.	elem.	Extrem
67.6	-104.7	0.080	126.4	-6.5	C1-1	1030	m, max
-52.5	-92.0	0.082	93.8	-5.0	C1-1	1210	m, min
33.9	-33.1	0.074	71.1	-3.3	C1-4	1040	n, max
-37.8	-117.5	0.101	48.0	-3.4	C1-1	1471	n, min

Sirka trhliny pri skoro-stalej kombinácii : SL									
Mqp, x	Nqp, x	x	sigmaS	sr, max	wk	Komb.	el em.	Extrem	
13.2	219.5	0.000	130.3	0.764	0.30	C1-1	1020	m, max	
-9.2	-2.6	0.067	23.0	0.515	0.04	C1-1	1417	m, mi n	
13.2	219.5	0.000	130.3	0.764	0.30	C1-1	1020	n, max	
-3.3	-128.7	0.400	0.7	0.000	0.00	C1-1	1471	n, mi n	
Mqp, y	Nqp, y	x	sigmaS	sr, max	wk	Komb.	el em.	Extrem	
58.4	-80.7	0.078	113.2	0.445	0.15	C1-1	1239	m, max	
-42.9	-67.8	0.080	79.5	0.443	0.11	C1-1	1437	m, mi n	
33.7	-36.2	0.075	69.3	0.448	0.09	C1-1	1040	n, max	
-37.8	-114.4	0.100	49.1	0.428	0.06	C1-1	1471	n, mi n	

Prvok : SL-Z1

Materialy : C30/37 B500B

Hrubka elementu = 0.400

Vystuzenie -x1 : As = 25.4469cm² a = 0.082
pocet profil cnom

10.000 18 0.073

Vystuzenie +x1 : As = 25.4469cm² a = 0.082
pocet profil cnom

10.000 18 0.073

Vystuzenie -x2 : As = 12.7235cm² a = 0.064
pocet profil cnom

5.000 18 0.055

Vystuzenie +x2 : As = 12.7235cm² a = 0.064
pocet profil cnom

5.000 18 0.055

Napätia v materialoch pri charakteristickej kombinácii : SL-Z1								
Mek, x	Nek, x	x	sigmaS	sigmaC	Komb.	el em.	Extrem	
70.9	406.7	0.046	185.0	-5.1	C1-3	1015	m, max	
-1.9	-139.1	0.400	-0.5	-0.3	C1-3	1472	m, mi n	
70.8	407.4	0.046	185.1	-5.1	C1-4	1256	n, max	
0.3	-149.5	0.400	-2.1	-0.4	C1-4	1218	n, mi n	

Mek, y	Nek, y	x	sigmaS	sigmaC	Komb.	el em.	Extrem	
67.4	-297.2	0.127	55.8	-5.5	C1-4	1256	m, max	
-36.2	-113.8	0.101	45.4	-3.2	C1-1	1219	m, mi n	
-7.7	95.1	0.000	59.6	0.0	C1-1	1195	n, max	
67.4	-297.2	0.127	55.8	-5.5	C1-4	1256	n, mi n	

Sirka trhliny pri skoro-stalej kombinácii : SL-Z1									
Mqp, x	Nqp, x	x	sigmaS	sr, max	wk	Komb.	el em.	Extrem	
71.6	410.0	0.046	186.7	0.390	0.25	C1-1	1015	m, max	
-1.9	-138.4	0.400	-0.5	0.000	0.00	C1-1	1472	m, mi n	
71.6	410.0	0.046	186.7	0.390	0.25	C1-1	1015	n, max	
-0.3	-140.7	0.400	-1.8	0.000	0.00	C1-1	1473	n, mi n	
Mqp, y	Nqp, y	x	sigmaS	sr, max	wk	Komb.	el em.	Extrem	
67.5	-291.8	0.125	57.7	0.408	0.07	C1-1	1015	m, max	
-35.6	-117.6	0.104	42.7	0.424	0.05	C1-1	1472	m, mi n	
-7.2	81.5	0.000	52.9	0.580	0.09	C1-1	1195	n, max	
67.5	-291.8	0.125	57.7	0.408	0.07	C1-1	1015	n, mi n	

Prvok : SL-Z2

Materialy : C30/37 B500B

Hrubka elementu = 0.400

Vystuzenie -x1 : As = 12.7235cm² a = 0.082
 pocet profil cnom

 5.000 18 0.073

Vystuzenie +x1 : As = 12.7235cm² a = 0.082
 pocet profil cnom

 5.000 18 0.073

Vystuzenie -x2 : As = 25.4469cm² a = 0.064
 pocet profil cnom

 10.000 18 0.055

Vystuzenie +x2 : As = 25.4469cm² a = 0.064
 pocet profil cnom

 10.000 18 0.055

Napatia v materialoch pri charakteristickej kombinácii : SL-Z2
 Mek, x Nek, x x sigmaS sigmaC Komb. elem. Extrem

 11.5 26.8 0.050 42.0 -1.3 C1-1 1031 m, max
 -11.2 -13.1 0.074 23.7 -1.2 C1-1 1211 m, min
 2.6 137.1 0.000 62.4 0.0 C1-4 1235 n, max
 -7.6 -22.6 0.095 10.6 -0.7 C1-4 1457 n, min

Mek, y Nek, y x sigmaS sigmaC Komb. elem. Extrem

 114.8 232.9 0.066 195.8 -7.9 C1-1 1034 m, max
 -56.7 -85.5 0.103 56.1 -4.1 C1-1 1214 m, min
 97.4 358.2 0.054 200.0 -6.2 C1-4 1034 n, max
 78.5 -133.4 0.105 74.9 -5.6 C1-1 1032 n, min

Sirka trhliny pri skoro-stalej kombinácii : SL-Z2
 Mqp, x Nqp, x x sigmaS sr, max wk Komb. elem. Extrem

 10.4 75.2 0.028 60.7 0.546 0.10 C1-1 1238 m, max
 -8.5 -9.3 0.074 18.4 0.510 0.03 C1-1 1436 m, min
 2.6 127.9 0.000 58.8 0.995 0.18 C1-1 1034 n, max
 -7.9 -22.7 0.094 11.1 0.493 0.02 C1-1 1231 n, min

Mqp, y Nqp, y x sigmaS sr, max wk Komb. elem. Extrem

 84.9 335.8 0.052 179.3 0.327 0.19 C1-1 1235 m, max
 -44.1 -50.0 0.098 46.9 0.308 0.04 C1-1 1433 m, min
 84.9 335.8 0.052 179.3 0.327 0.19 C1-1 1235 n, max
 62.5 -92.8 0.102 62.2 0.306 0.06 C1-1 1237 n, min

Prvok : SP

Materialy : C30/37 B500B

Hrubka elementu = 0.400

Vystuzenie -x1 : As = 12.7235cm² a = 0.082
 pocet profil cnom

 5.000 18 0.073

Vystuzenie +x1 : As = 12.7235cm² a = 0.082
 pocet profil cnom

 5.000 18 0.073

Vystuzenie -x2 : As = 12.7235cm² a = 0.064
 pocet profil cnom

5.000 18 0.055

Vystuzenie +x2 : As = 12.7235cm² a = 0.064

pocet profil cnom
5.000 18 0.055

Napätia v materialoch pri charakteristickej kombinácii : SP

Mek, x	Nek, x	x	sigmaS	sigmaC	Komb.	elem.	Extrem
10.6	-23.8	0.086	17.8	-1.1	C1-1	1913	m, max
-15.1	237.4	0.000	143.5	0.0	C1-4	1724	m, min
-15.1	237.4	0.000	143.5	0.0	C1-4	1724	n, max
3.5	-131.0	0.400	-1.5	-0.4	C1-1	2175	n, min

Mek, y	Nek, y	x	sigmaS	sigmaC	Komb.	elem.	Extrem
51.2	-99.7	0.084	87.6	-4.8	C1-1	1934	m, max
-68.6	-101.4	0.079	130.2	-6.6	C1-1	1734	m, min
-35.5	-36.7	0.074	73.6	-3.4	C1-6	1744	n, max
39.0	-121.7	0.101	49.3	-3.5	C1-1	2175	n, min

Sirka trhliny pri skoro-stalej kombinácii : SP

Mqp, x	Nqp, x	x	sigmaS	sr, max	wk	Komb.	elem.	Extrem
9.2	-2.6	0.067	23.0	0.515	0.04	C1-1	2121	m, max
-13.2	219.5	0.000	130.3	0.764	0.30	C1-1	1724	m, min
-13.2	219.5	0.000	130.3	0.764	0.30	C1-1	1724	n, max
3.3	-128.7	0.400	-1.5	0.000	0.00	C1-1	2175	n, min

Mqp, y	Nqp, y	x	sigmaS	sr, max	wk	Komb.	elem.	Extrem
42.9	-67.8	0.080	79.5	0.443	0.11	C1-1	2141	m, max
-58.4	-80.7	0.078	113.2	0.445	0.15	C1-1	1943	m, min
-33.7	-36.2	0.075	69.3	0.448	0.09	C1-1	1744	n, max
37.8	-114.4	0.100	49.1	0.428	0.06	C1-1	2175	n, min

Prvok : SP-Z1
Materialy : C30/37 B500B

Hrubka elementu = 0.400

Vystuzenie -x1 : As = 25.4469cm² a = 0.082

pocet profil cnom
10.000 18 0.073

Vystuzenie +x1 : As = 25.4469cm² a = 0.082

pocet profil cnom
10.000 18 0.073

Vystuzenie -x2 : As = 12.7235cm² a = 0.064

pocet profil cnom
5.000 18 0.055

Vystuzenie +x2 : As = 12.7235cm² a = 0.064

pocet profil cnom
5.000 18 0.055

Napätia v materialoch pri charakteristickej kombinácii : SP-Z1

Mek, x	Nek, x	x	sigmaS	sigmaC	Komb.	elem.	Extrem
--------	--------	---	--------	--------	-------	-------	--------

Statistický výpočet

2.6	-134.7	0.400	-1.6	-0.4	C1-1	1923	m, max
-72.7	411.6	0.046	188.5	-5.2	C1-2	1719	m, min
-72.7	411.6	0.046	188.5	-5.2	C1-2	1719	n, max
0.4	-144.2	0.400	-2.0	-0.4	C1-1	2177	n, min

Mek, y	Nek, y	x	sigmaS	sigmaC	Komb.	elem.	Extrem
38.0	-118.8	0.101	48.0	-3.4	C1-1	1923	m, max
-74.3	-339.4	0.130	57.9	-6.0	C1-4	1719	m, min
9.7	92.3	0.008	64.2	-0.3	C1-1	1919	n, max
-74.3	-339.4	0.130	57.9	-6.0	C1-4	1719	n, min

Sirka trhliny pri skoro-stalej kombinácii : SP-Z1								
Mqp, x	Nqp, x	x	sigmaS	sr, max	wk	Komb.	elem.	Extrem
1.9	-138.4	0.400	-1.7	0.000	0.00	C1-1	2176	m, max
-71.6	410.0	0.046	186.7	0.390	0.25	C1-1	1719	m, min
-71.6	410.0	0.046	186.7	0.390	0.25	C1-1	1719	n, max
0.3	-140.7	0.400	-2.0	0.000	0.00	C1-1	2177	n, min

Mqp, y	Nqp, y	x	sigmaS	sr, max	wk	Komb.	elem.	Extrem
35.6	-117.6	0.104	42.7	0.424	0.05	C1-1	2176	m, max
-67.5	-291.8	0.125	57.7	0.408	0.07	C1-1	1719	m, min
7.2	81.5	0.000	52.9	0.580	0.09	C1-1	1899	n, max
-67.5	-291.8	0.125	57.7	0.408	0.07	C1-1	1719	n, min

Prvok : SP-Z2

Materialy : C30/37 B500B

Hrubka elementu = 0.400

Vystuzenie -x1 : As = 12.7235cm² a = 0.082

pocet	profil	cnom
5.000	18	0.073

Vystuzenie +x1 : As = 12.7235cm² a = 0.082

pocet	profil	cnom
5.000	18	0.073

Vystuzenie -x2 : As = 25.4469cm² a = 0.064

pocet	profil	cnom
10.000	18	0.055

Vystuzenie +x2 : As = 25.4469cm² a = 0.064

pocet	profil	cnom
10.000	18	0.055

Napätia v materialoch pri charakteristickej kombinácii : SP-Z2								
Mek, x	Nek, x	x	sigmaS	sigmaC	Komb.	elem.	Extrem	
10.3	-26.5	0.090	16.0	-1.0	C1-1	1935	m, max	
-13.0	109.7	0.024	83.1	-1.1	C1-1	1735	m, min	
-3.3	170.3	0.000	78.0	0.0	C1-4	1738	n, max	
10.3	-26.5	0.090	16.0	-1.0	C1-1	1935	n, min	

Mek, y	Nek, y	x	sigmaS	sigmaC	Komb.	elem.	Extrem
52.4	-104.0	0.109	47.1	-3.7	C1-1	1936	m, max
-109.0	230.5	0.066	187.8	-7.5	C1-1	1738	m, min
-94.1	372.4	0.051	198.8	-5.9	C1-4	1738	n, max
-77.7	-128.7	0.105	74.8	-5.6	C1-1	1736	n, min

Sirka trhliny pri skoro-stalej kombinácii : SP-Z2								
Mqp, x	Nqp, x	x	sigmaS	sr, max	wk	Komb.	elem.	Extrem
8.5	-9.3	0.074	18.4	0.510	0.03	C1-1	2140	m, max

- 10. 4	75. 2	0. 028	60. 7	0. 546	0. 10	C1- 1	1942	m, mi n
- 2. 6	127. 9	0. 000	58. 8	0. 995	0. 18	C1- 1	1738	n, max
7. 9	- 22. 7	0. 094	11. 1	0. 493	0. 02	C1- 1	1935	n, mi n

M _{qp, y}	N _{qp, y}	x	sigmaS	sr, max	wk	Komb.	el em.	Extrem
44. 1	- 50. 0	0. 098	46. 9	0. 308	0. 04	C1- 1	2137	m, max
- 84. 9	335. 8	0. 052	179. 3	0. 327	0. 19	C1- 1	1939	m, mi n
- 84. 9	335. 8	0. 052	179. 3	0. 327	0. 19	C1- 1	1939	n, max
- 62. 5	- 92. 8	0. 102	62. 2	0. 306	0. 06	C1- 1	1941	n, mi n

9.4 Krídla

Krídla sú rozdelené na dve oblasti s rôznym vystužením , Ki a Ki-Z, kde Z označuje oblasť so zahustenou výstužou. L označuje ľavé krídlo pri pohľade zhora.

MSÚ

Vo vodorovnom smere :

Extremy vyhodnotene pre : KL

asx+	asx-	komb.	el em.	Extrem.
7. 36	0. 00	C1- 16	2837	asx+, max
0. 00	0. 00	C1- 1	2878	asx+, mi n
3. 72	1. 55	C1- 4	3150	asx-, max
3. 49	0. 00	C1- 1	2832	asx-, mi n

Extremy vyhodnotene pre : KL-Z

asx+	asx-	komb.	el em.	Extrem.
16. 79	7. 46	C1- 16	2758	asx+, max
4. 90	0. 00	C1- 7	2812	asx+, mi n
14. 39	9. 68	C1- 16	2761	asx-, max
9. 87	0. 00	C1- 7	2796	asx-, mi n

Extremy vyhodnotene pre : KP

asx+	asx-	komb.	el em.	Extrem.
1. 43	2. 07	C1- 7	3591	asx+, max
0. 00	3. 31	C1- 1	3260	asx+, mi n
0. 00	6. 77	C1- 16	3265	asx-, max
0. 00	0. 00	C1- 1	3306	asx-, mi n

Extremy vyhodnotene pre : KP-Z

asx+	asx-	komb.	el em.	Extrem.
8. 01	12. 54	C1- 4	3189	asx+, max
0. 00	5. 23	C1- 7	3221	asx+, mi n
5. 54	15. 04	C1- 16	3195	asx-, max
0. 02	4. 09	C1- 7	3220	asx-, mi n

V zvislom smere :

Extremy vyhodnotene pre : KL

asy+	asy-	komb.	el em.	Extrem.
3. 66	0. 00	C1- 4	3169	asy+, max
0. 00	0. 09	C1- 1	2743	asy+, mi n
2. 10	4. 01	C1- 7	3164	asy-, max
0. 08	0. 00	C1- 1	2838	asy-, mi n

Extremy vyhodnotene pre : KL-Z

asy+	asy-	komb.	el em.	Extrem.
2. 58	2. 28	C1- 16	2795	asy+, max
0. 00	0. 00	C1- 7	2799	asy+, mi n

2. 55	2. 30	C1- 16	2795	asy-, max
0. 20	0. 00	C1- 1	2763	asy-, mi n

Extremy vyhodnotene pre : KP

asy+	asy-	komb.	el em.	Extrem.
3. 76	2. 07	C1- 7	3592	asy+, max
0. 00	0. 50	C1- 1	3266	asy+, mi n
1. 31	3. 36	C1- 16	3318	asy-, max
0. 09	0. 00	C1- 1	3171	asy-, mi n

Extremy vyhodnotene pre : KP-Z

asy+	asy-	komb.	el em.	Extrem.
1. 98	2. 30	C1- 16	3238	asy+, max
0. 00	0. 24	C1- 1	3191	asy+, mi n
1. 97	2. 34	C1- 16	3238	asy-, max
0. 00	0. 13	C1- 10	3234	asy-, mi n

Odolnosť prierezu v šmyku, prierez bez výstuže.

Smykova unosnosť bez smykovej výstuže STN EN 1992-1-1 str.78

$$h := 0.4 \quad C_{Rdc} := \frac{0.18}{\gamma_C} = 0.12 \quad \dots \text{ empiricky súčiniteľ [MPa]}$$

$$\text{Pozdĺžna výstuž : } \phi_{sl} := 0.018 \quad a_{sl} := 0.2 \quad A_{sl} := 0.25 \pi \cdot \phi_{sl}^2 \cdot \frac{1}{a_{sl}} = 1.272 \times 10^{-3}$$

$$\text{Nominalne krytie : } c_{nom} := 0.055 \quad b_w := 1.0 \quad d := h - c_{nom} - \phi_{sl} \cdot 1.5 = 0.318$$

$$k := \min \left(1 + \sqrt{\frac{200}{d \cdot 1000}}, 2.0 \right) = 1.793 \quad \rho_l := \frac{A_{sl}}{b_w \cdot d} = 4.001 \times 10^{-3}$$

$$v_{Ed} := 0.151 \quad \text{MN}$$

$$v_{min} := 0.035 k^{\frac{3}{2}} \cdot \sqrt{f_{ck}} = 0.46 \quad V_{Rdc} := \max \left[\left[C_{Rdc} \cdot k \cdot \left(100 \rho_l f_{ck} \right)^{\frac{1}{3}} \right] \cdot b_w \cdot d, 0.035 k^{\frac{3}{2}} \cdot \sqrt{f_{ck}} \cdot b_w \cdot d \right]$$

$$V_{Rdc} = 0.157 < v_{Ed} = 0.151 \quad \text{Nie je potrebná smykova výstuž}$$

$$V_{Rdmax} := 0.5 \cdot b_w \cdot d \cdot 0.6 \cdot f_{cd} = 1.908 > V_{Rdc} = 0.157 \quad \text{VYHOVUJE}$$

MSP

Prvok : KL

Materialy : C30/37 B500B

Hrúbka elementu = 0.400

Vystuženie -x1 : $A_s = 12.7235 \text{ cm}^2$ $a = 0.064$
 počet profil cnom

5.000 18 0.055

Vystuženie +x1 : $A_s = 12.7235 \text{ cm}^2$ $a = 0.064$
 počet profil cnom

5.000 18 0.055

Vystuženie -x2 : $A_s = 12.7235 \text{ cm}^2$ $a = 0.082$
 počet profil cnom

5.000 18 0.073

Vystuzenie +x2 : As = 12.7235cm² a = 0.082
pocet profil cnom

5.000 18 0.073

Napätia v materialoch pri charakteristickej kombinácii : KL
Mek, x Nek, x x sigmaS sigmaC Komb. elem. Extrem

80.9	-1073.0	0.376	-3.6	-5.5	C1-2	2918	m, max
-0.6	0.3	0.061	1.6	-0.1	C1-4	2781	m, min
20.2	200.3	0.004	137.1	-0.3	C1-4	2752	n, max
80.5	-1152.0	0.392	-5.0	-5.7	C1-4	2918	n, min

Mek, y Nek, y x sigmaS sigmaC Komb. elem. Extrem

31.2	-141.0	0.124	25.8	-2.7	C1-4	2928	m, max
-17.2	30.9	0.053	58.5	-1.9	C1-1	3111	m, min
-6.6	117.7	0.000	68.4	0.0	C1-1	3164	n, max
28.0	-411.1	0.395	-2.4	-2.0	C1-4	2957	n, min

Sírka trhlíny pri skoro-stalej kombinácii : KL
Mqp, x Nqp, x x sigmaS sr, max wk Komb. elem. Extrem

80.2	-1066.0	0.377	-3.6	0.206	0.00	C1-1	2918	m, max
-0.5	0.3	0.059	1.4	0.460	0.00	C1-1	2744	m, min
21.0	174.0	0.016	127.7	0.495	0.19	C1-1	2752	n, max
80.2	-1066.0	0.377	-3.6	0.206	0.00	C1-1	2918	n, min

Mqp, y Nqp, y x sigmaS sr, max wk Komb. elem. Extrem

29.8	-301.2	0.306	0.4	0.323	0.00	C1-1	2986	m, max
-16.9	30.5	0.053	57.6	0.527	0.09	C1-1	3111	m, min
-6.0	106.9	0.000	62.1	0.780	0.15	C1-1	3164	n, max
28.4	-363.8	0.366	-1.5	0.275	0.00	C1-1	2957	n, min

Prvok : KL-Z

Materialy : C30/37 B500B

Hrubka elementu = 0.400

Vystuzenie -x1 : As = 25.4469cm² a = 0.064
pocet profil cnom

10.000 18 0.055

Vystuzenie +x1 : As = 25.4469cm² a = 0.064
pocet profil cnom

10.000 18 0.055

Vystuzenie -x2 : As = 12.7235cm² a = 0.082
pocet profil cnom

5.000 18 0.073

Vystuzenie +x2 : As = 12.7235cm² a = 0.082
pocet profil cnom

5.000 18 0.073

Napätia v materialoch pri charakteristickej kombinácii : KL-Z
Mek, x Nek, x x sigmaS sigmaC Komb. elem. Extrem

51.8	336.5	0.034	137.7	-2.5	C1-2	2797	m, max
16.6	381.6	0.000	98.9	0.0	C1-1	2803	m, min
30.2	974.2	0.000	235.1	0.0	C1-4	2760	n, max
25.7	125.6	0.045	59.4	-1.5	C1-1	2812	n, min

Mek, y	Nek, y	x	sigmaS	sigmaC	Komb.	el em.	Extrem
3.0	-0.9	0.067	7.5	-0.3	C1-1	2804	m, max
-0.5	-10.3	0.400	0.3	0.0	C1-1	2757	m, mi n
1.4	27.4	0.000	15.4	0.0	C1-4	2793	n, max
-0.3	-68.6	0.400	-0.8	-0.2	C1-4	2798	n, mi n

Sirka trhlíny pri skoro-stalej kombinácii : KL-Z								
Mqp, x	Nqp, x	x	sigmaS	sr, max	wk	Komb.	el em.	Extrem
51.5	340.4	0.033	138.1	0.334	0.14	C1-1	2797	m, max
17.0	403.2	0.000	103.8	0.451	0.14	C1-1	2802	m, mi n
30.5	875.3	0.000	216.1	0.466	0.32	C1-1	2760	n, max
26.5	143.0	0.041	64.1	0.331	0.06	C1-1	2793	n, mi n

Mqp, y	Nqp, y	x	sigmaS	sr, max	wk	Komb.	el em.	Extrem
3.0	11.0	0.043	12.6	0.534	0.02	C1-1	2802	m, max
-0.4	-9.7	0.400	0.2	0.000	0.00	C1-1	2768	m, mi n
1.8	24.7	0.000	15.8	0.729	0.03	C1-1	2794	n, max
0.0	-60.0	0.400	-0.9	0.000	0.00	C1-1	2798	n, mi n

Prvok : KP

Materialy : C30/37 B500B

Hrubka elementu = 0.400

Vystuzenie -x1 : As = 12.7235cm² a = 0.064
 pocet profil cnom

5.000 18 0.055

Vystuzenie +x1 : As = 12.7235cm² a = 0.064
 pocet profil cnom

5.000 18 0.055

Vystuzenie -x2 : As = 12.7235cm² a = 0.082
 pocet profil cnom

5.000 18 0.073

Vystuzenie +x2 : As = 12.7235cm² a = 0.082
 pocet profil cnom

5.000 18 0.073

Napatia v materialoch pri charakteristickej kombinácii : KP							
Mek, x	Nek, x	x	sigmaS	sigmaC	Komb.	el em.	Extrem
0.5	0.4	0.059	1.5	-0.1	C1- 1	3172	m, max
-79.3	-1056.0	0.377	-3.6	-5.4	C1- 4	3355	m, mi n
-27.0	249.6	0.010	175.3	-0.9	C1- 4	3200	n, max
-79.3	-1056.0	0.377	-3.6	-5.4	C1- 4	3355	n, mi n

Mek, y	Nek, y	x	sigmaS	sigmaC	Komb.	el em.	Extrem
17.1	25.3	0.055	55.9	-1.9	C1-1	3539	m, max
-30.0	-307.2	0.310	0.3	-1.9	C1-4	3415	m, mi n
5.8	106.7	0.000	61.2	0.0	C1-4	3592	n, max
-29.3	-371.4	0.363	-1.5	-2.0	C1-4	3386	n, mi n

Sirka trhlíny pri skoro-stalej kombinácii : KP								
Mqp, x	Nqp, x	x	sigmaS	sr, max	wk	Komb.	el em.	Extrem
0.5	0.4	0.059	1.4	0.460	0.00	C1-1	3172	m, max
-78.8	-1045.0	0.376	-3.5	0.206	0.00	C1-1	3346	m, mi n
-26.7	245.0	0.011	172.7	0.499	0.26	C1-1	3200	n, max
-78.8	-1045.0	0.376	-3.5	0.206	0.00	C1-1	3346	n, mi n

Mqp, y	Nqp, y	x	sigmaS	sr, max	wk	Komb.	elem.	Extrem
17.0	29.1	0.053	57.2	0.526	0.09	C1-1	3539	m, max
-29.5	-298.2	0.306	0.4	0.324	0.00	C1-1	3414	m, min
5.9	106.3	0.000	61.4	0.783	0.14	C1-1	3592	n, max
-28.4	-360.1	0.363	-1.5	0.278	0.00	C1-1	3385	n, min

Prvok : KP-Z
Materialy : C30/37 B500B

Hrubka elementu = 0.400

Vystuzenie -x1 : As = 25.4469cm² a = 0.064
pocet profil cnom

10.000 18 0.055

Vystuzenie +x1 : As = 25.4469cm² a = 0.064
pocet profil cnom

10.000 18 0.055

Vystuzenie -x2 : As = 12.7235cm² a = 0.082
pocet profil cnom

5.000 18 0.073

Vystuzenie +x2 : As = 12.7235cm² a = 0.082
pocet profil cnom

5.000 18 0.073

Napätia v materialoch pri charakteristickej kombinácii : KP-Z

Mek, x	Nek, x	x	sigmaS	sigmaC	Komb.	elem.	Extrem
-16.5	388.4	0.000	100.1	0.0	C1-1	3230	m, max
-51.1	340.2	0.033	137.6	-2.4	C1-4	3236	m, min
-30.4	869.7	0.000	214.8	0.0	C1-4	3193	n, max
-19.7	103.1	0.043	47.0	-1.1	C1-1	3220	n, min

Mek, y	Nek, y	x	sigmaS	sigmaC	Komb.	elem.	Extrem
0.5	-9.3	0.400	-0.1	0.0	C1-4	3185	m, max
-3.0	10.2	0.044	12.3	-0.3	C1-1	3231	m, min
-2.0	24.3	0.009	16.1	-0.1	C1-4	3239	n, max
-0.2	-59.9	0.400	-0.7	-0.1	C1-4	3235	n, min

Sirka trhliny pri skoro-stalej kombinácii : KP-Z

Mqp, x	Nqp, x	x	sigmaS	sr, max	wk	Komb.	elem.	Extrem
-16.7	397.9	0.000	102.4	0.452	0.14	C1-1	3230	m, max
-50.7	335.2	0.033	136.0	0.334	0.14	C1-1	3225	m, min
-30.1	862.2	0.000	212.9	0.466	0.31	C1-1	3188	n, max
-20.0	106.9	0.042	48.2	0.331	0.05	C1-1	3220	n, min

Mqp, y	Nqp, y	x	sigmaS	sr, max	wk	Komb.	elem.	Extrem
0.4	-9.5	0.400	-0.1	0.000	0.00	C1-1	3196	m, max
-2.9	10.5	0.044	12.3	0.534	0.02	C1-1	3230	m, min
-1.9	24.1	0.002	15.6	0.568	0.03	C1-1	3239	n, max
-0.1	-58.8	0.400	-0.8	0.000	0.00	C1-1	3226	n, min

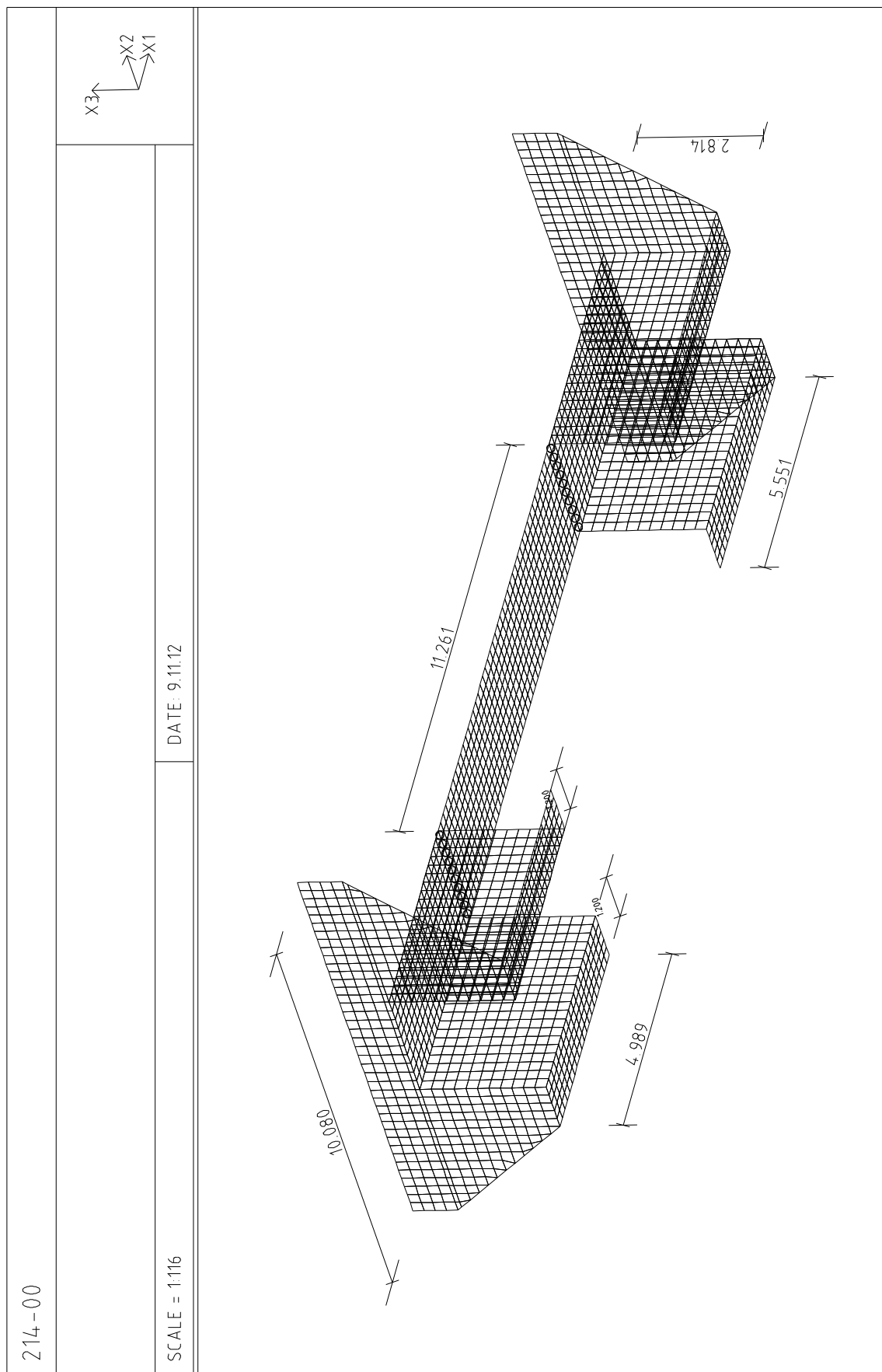
10. PRÍLOHA

Model – MKP

SECTION PROPERTY TABLE (units - cm.)	
PROPERTY NO. 1	
Thickness =	50.000
Material = 1 - C30	
PROPERTY NO. 2	
Thickness =	40.000
Material = 1 - C30	

MATERIAL TABLE (units - kN meter)						
NO.	Name	Modulus of Elasticity	Poisson ratio	Density	Thermal coefficient	Shear modulus
1	C30	0.3200E+08	0.200	0.2500E+02	0.00001000	0.1333E+08

LOAD CASES LIST		
no.	no. in results	name
1	1	Vlastna tiaž
2	2	Zasypanie
3	3	Tlak zeminy v pokoji, bez pritazenia
4	4	Z123-P1
5	5	Z213-P1
6	6	Z321-P1
7	7	Z123-P2
8	8	Z213-P2
9	9	Z321-P2



COMBINATIONS TABLE				
Comb.				
1	1 * 1.00	+ 2 * 1.00	+ 3 * 1.00	
1*1.00+2				
2	1 * 1.00	+ 2 * 1.00	+ 3 * 1.00	+ 4 * 1.00
1*1.00+2				
3	1 * 1.00	+ 2 * 1.00	+ 3 * 1.00	+ 5 * 1.00
1*1.00+2				
4	1 * 1.00	+ 2 * 1.00	+ 3 * 1.00	+ 6 * 1.00
1*1.00+2				
5	1 * 1.00	+ 2 * 1.00	+ 3 * 1.00	+ 7 * 1.00
1*1.00+2				
6	1 * 1.00	+ 2 * 1.00	+ 3 * 1.00	+ 8 * 1.00
1*1.00+2				
7	1 * 1.00	+ 2 * 1.00	+ 3 * 1.00	+ 9 * 1.00
1*1.00+2				
8	1 * 1.00	+ 2 * 1.00	+ 3 * 1.00	+ 4 * 1.30
1*1.00+2				
9	1 * 1.00	+ 2 * 1.00	+ 3 * 1.00	+ 5 * 1.30
1*1.00+2				
10	1 * 1.00	+ 2 * 1.00	+ 3 * 1.00	+ 6 * 1.30
1*1.00+2				
11	1 * 1.00	+ 2 * 1.00	+ 3 * 1.00	+ 7 * 1.30
1*1.00+2				
12	1 * 1.00	+ 2 * 1.00	+ 3 * 1.00	+ 8 * 1.30
1*1.00+2				
13	1 * 1.00	+ 2 * 1.00	+ 3 * 1.00	+ 9 * 1.30
1*1.35+2				
14	1 * 1.35	+ 2 * 1.35	+ 3 * 1.00	+ 4 * 1.35
1*1.35+2				
15	1 * 1.35	+ 2 * 1.35	+ 3 * 1.00	+ 5 * 1.35
1*1.35+2				
16	1 * 1.35	+ 2 * 1.35	+ 3 * 1.00	+ 6 * 1.35
1*1.35+2				
17	1 * 1.35	+ 2 * 1.35	+ 3 * 1.00	+ 7 * 1.35
1*1.35+2				
18	1 * 1.35	+ 2 * 1.35	+ 3 * 1.00	+ 8 * 1.35
1*1.35+2				
19	1 * 1.35	+ 2 * 1.35	+ 3 * 1.00	+ 9 * 1.35
1*1.35+2				
20	1 * 1.35	+ 2 * 1.00	+ 3 * 1.00	+ 4 * 1.35
1*1.35+2				
21	1 * 1.35	+ 2 * 1.00	+ 3 * 1.00	+ 5 * 1.35
1*1.35+2				
22	1 * 1.35	+ 2 * 1.00	+ 3 * 1.00	+ 6 * 1.35
1*1.35+2				
23	1 * 1.35	+ 2 * 1.00	+ 3 * 1.00	+ 7 * 1.35
1*1.35+2				
24	1 * 1.35	+ 2 * 1.00	+ 3 * 1.00	+ 8 * 1.35
1*1.35+2				
25	1 * 1.35	+ 2 * 1.00	+ 3 * 1.00	+ 9 * 1.35

Tlak zeminy na krídlo

Výpočet zemních tlaků na konstrukci

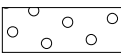
Vstupní data

Geometrie konstrukce

Číslo	Pořadnice X [m]	Hloubka Z [m]
1	0.00	0.00
2	0.00	3.26
3	0.00	0.00

Počátek [0,0] je v nejhořejším bodu konstrukce.

Základní parametry zemín

Číslo	Název	Vzorek	φ_{ef} [°]	c_{ef} [kPa]	γ [kN/m ³]	γ_{su} [kN/m ³]	δ [°]
1	Třída G3, středně ulehlá		32.50	0.00	19.00	13.00	0.00

Pro výpočet tlaku v klidu jsou všechny zeminy zadány jako nesoudržné.

Parametry zemín

Třída G3, středně ulehlá

Objemová tíha : $\gamma = 19.00 \text{ kN/m}^3$

Napjatost : efektivní

Úhel vnitřního tření : $\varphi_{ef} = 32.50^\circ$

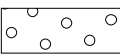
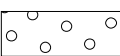
Soudržnost zeminy : $c_{ef} = 0.00 \text{ kPa}$

Třecí úhel ke-zemina : $\delta = 0.00^\circ$

Zemina : nesoudržná

Obj.tíha sat.zeminy : $\gamma_{sat} = 23.00 \text{ kN/m}^3$

Geologický profil a přiřazení zemín

Číslo	Vrstva [m]	Přiřazená zemina	Vzorek
1	10.00	Třída G3, středně ulehlá	
2	-	Třída G3, středně ulehlá	

Tvar terénu

Terén za konštrukci je ve sklonu 1: 1.47 (úhel sklonu je 34.26 °).

Výška náspu je 2.20 m, dĺžka náspu je 3.23 m.

Vliv vody

Hladina podzemní vody je pod úrovni konštrukce.

Zadaná plošná přitížení

Číslo	Přítížení nové	Působ. změna	Vel.1	Vel.2 [kN/m ²]	Poř.x [kN/m ²]	Délka x [m]	Hloubka l [m]	z [m]
1	ANO		proměnné	2.50				na terénu

Číslo	Název
1	sneh

Celkové nastavení výpočtu

Výpočet aktivního tlaku - Coulomb (ČSN 730037)

Výpočet pasivního tlaku - Caquot-Kerisel (ČSN 730037)

Nastavení výpočtu fáze

Dílčí součinitelé posouzení zdi

Metodika posouzení : výpočet podle EN 1997

Zadání koeficientů : Standard

Návrhový přístup : 2 - redukce zatížení a odporu

Návrhová situace : trvalá

Součinitelé redukce zatížení (F)	Souč.	Nepříznivé [-]	Příznivé [-]
Stálé zatížení	γ_G	1.35	1.00
Proměnné zatížení	γ_Q	1.50	0.00
Zatížení vodou	γ_w	1.30	

Výpočet čís. 1

Spočtené síly působící na konstrukci

Název	F _{vod} [kN/m]	Působíště Z [m]	F _{svis} [kN/m]	Působíště X [m]	Výpočtový koeficient
Tlak v klidu	87.34	2.14	0.00	0.00	1.350
sneh	5.98	1.46	0.00	0.00	1.500

Celkový tlak pôsobící na konstrukci

Bod čís.	Hĺbka [m]	Vod.složka [kPa]	Svis. složka [kPa]
1	0.00	3.16	0.00
2	2.32	56.79	0.00
3	2.32	55.37	0.00
4	3.26	66.54	0.00

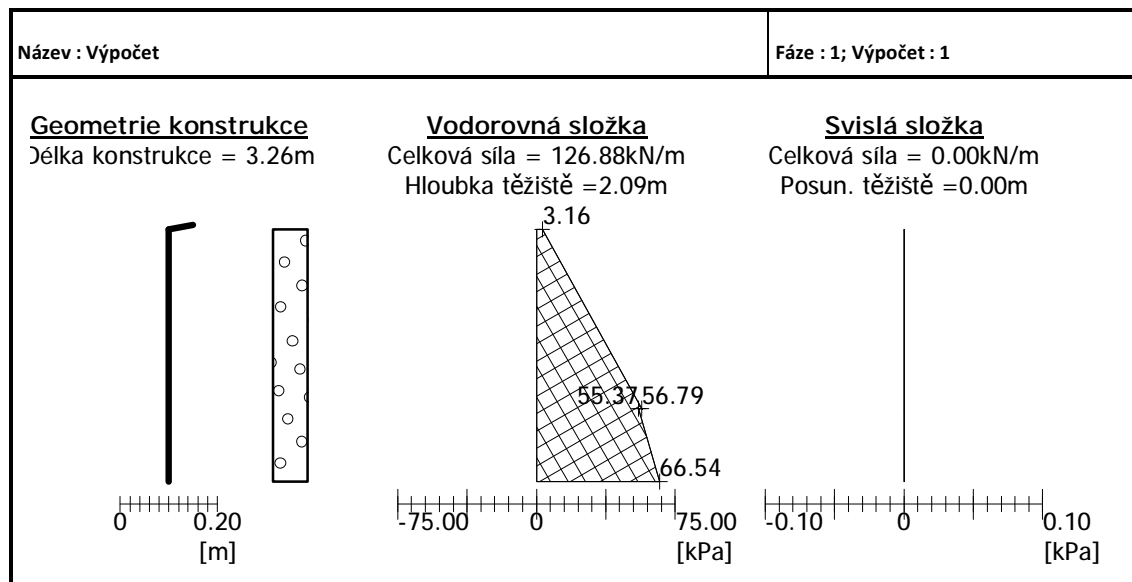
Výsledné síly

Celkový vodorovný tlak pôsobící na konstrukci = 126.88 kN/m

Působíště vodorovné složky je v hĺbke = 2.09 m

Celkový svislý tlak pôsobící na konstrukci = 0.00 kN/m

Vzdál. ťžišťe svislé složky od vršku konstr. = 0.00 m

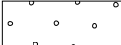


Základová päťka

Posouzení plošného základu

Vstupní data

Základní parametry zemín

Číslo	Název	Vzorek	φ_{ef} [°]	c_{ef} [kPa]	γ [kN/m ³]	γ_{su} [kN/m ³]	δ [°]
1	Třída S2, ulehlá		35.50	0.00	18.50	13.00	

Pro výpočet tlaku v klidu jsou všechny zeminy zadány jako nesoudržné.

Parametry zemín

Třída S2, ulehlá

Objemová tíha :	γ	=	18.50 kN/m ³
Úhel vnitřního tření :	φ_{ef}	=	35.50 °
Soudržnost zeminy :	c_{ef}	=	0.00 kPa
Edometrický modul :	E_{oed}	=	51.00 MPa
Koef. strukturní pevnosti :	m	=	0.20
Obj.tíha sat.zeminy :	γ_{sat}	=	23.00 kN/m ³

Založení

Typ základu: excentrická patka

Hĺoubka od původního terénu	h_z	=	0.60 m
Hĺoubka základové spáry	d	=	0.60 m
Tloušťka základu	t	=	0.50 m
Sklon upraveného terénu	s_1	=	0.00 °
Sklon základové spáry	s_2	=	0.00 °

Objemová tíha zeminy nad základem = 20.00 kN/m³

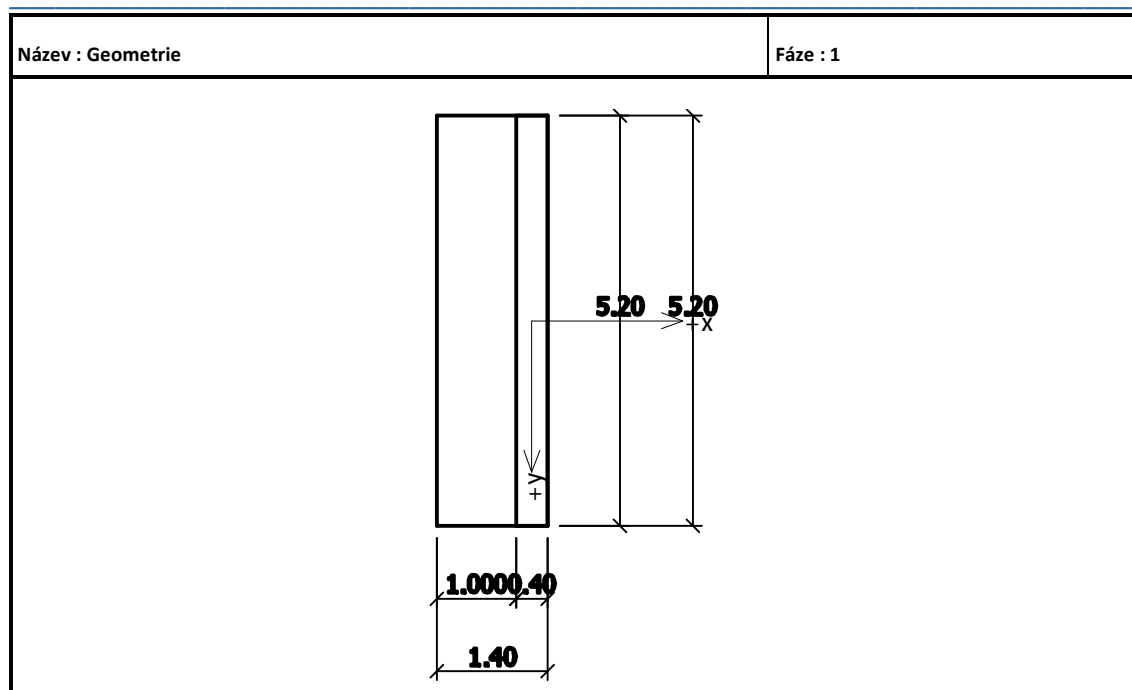
Geometrie konstrukce

Typ základu: excentrická patka

Délka patky	x	=	1.40 m
Šířka patky	y	=	5.20 m
Šířka sloupu ve směru x	c_x	=	0.40 m
Šířka sloupu ve směru y	c_y	=	5.20 m
Objem patky		=	3.64 m ³

Vzdál. osy sloupu od kraje patky ve směru x = 1.20 m

Vzdál. osy sloupu od kraje patky ve směru y = 2.60 m

**Materiál konštrukcie**Objemová tíha $\gamma = 23.00 \text{ kN/m}^3$

Výpočet betonových konštrukcií proveden podľa normy EN 1992-1-1 (EC2).

Beton : C 30/37

Válcová pevnosť v tlaku $f_{ck} = 30.00 \text{ MPa}$ Pevnosť v tahu $f_{ctm} = 2.90 \text{ MPa}$ Modul pružnosti $E_{cm} = 33000.00 \text{ MPa}$

Ocel podélná : B500

Mez kluzu $f_{yk} = 500.00 \text{ MPa}$

Ocel priečná : B500

Mez kluzu $f_{yk} = 500.00 \text{ MPa}$ **Geologický profil a priradení zemin**

Číslo	Vrstva [m]	Přirazená zemina	Vzorek
1	10.00	Třída S2, ulehlá	
2	-	Třída S2, ulehlá	

Zatížení

Číslo	Zatížení nové	Název změna	Typ	N	M _x [kN]	M _y [kNm]	H _x [kNm]	H _y [kN]	[kN]
1	ANO		Zatížení č. 1	Návrhové	1191.00	0.00	605.00	68.00	0.00
2	ANO		Zatížení č. 2	Užitné	1191.00	0.00	605.00	68.00	0.00

Hladina podzemní vody

Hladina podzemní vody je v hloubce 0.50 m od původního terénu.

Nastavení výpočtu

Typ výpočtu - Výpočet pro odvodněné podmínky

Výpočet svislé únosnosti - ČSN 73 1001

Výpočet sednutí - Výpočet pomocí oedometrického modulu (ČSN 73 1001)

Omezení deformační zóny - pomocí strukturní pevnosti

Metodika posouzení : výpočet podle EN 1997

Zadání koeficientů : Standard

Návrhový přístup : 3 - redukce zatížení GEO, STR a materiálu

Návrhová situace : trvalá

Součinitel redukce zatížení (F)	Souč.	Stav STR [-]		Stav GEO [-]	
		Nepříznivé	Příznivé	Nepříznivé	Příznivé
Stálé zatížení	γ _G	1.35	1.00	1.00	1.00

Součinitel redukce materiálu (M)	Souč.	[-]
Součinitel redukce úhlu vnitřního tření	γ _φ	1.25
Součinitel redukce efektivní soudržnosti	γ _c	1.25
Součinitel redukce neodv. smykové pevnosti	γ _{cu}	1.40
Součinitel redukce pevnosti horniny	γ _{qu}	1.40

Posouzení čís. 1

Posouzení zatěžovacích stavů

Název	VI. tíha příznivé	e _x [m]	e _y [m]	s [kPa]	R _d [kPa]	Využití [%]	Vyhovuje
Zatížení č. 1	Ano	0.02	0.00	180.47	307.17	58.75	Ano
Zatížení č. 1	Ne	0.02	0.00	184.14	307.94	59.80	Ano

Výpočet proveden pro zatěžovací stav číslo 1. (Zatížení č. 1)

Spočtená vlastní tíha patky G = 103.19 kN

Spočtená tíha nadloží $Z = 10.40 \text{ kN}$

Posouzení svislé únosnosti

Tvar kontaktního napětí : obdélník

Parametry smykové plochy pod základem:

Hloubka smykové plochy $z_{sp} = 2.71 \text{ m}$

Dosah smykové plochy $l_{sp} = 9.02 \text{ m}$

Výpočtová únosnost zákl. půdy $R_d = 307.94 \text{ kPa}$

Extrémní kontaktní napětí $\sigma = 184.14 \text{ kPa}$

Svislá únosnost VYHOVUJE

Posouzení vodorovné únosnosti

Zemní odpor: není uvažován

Úhel tření základ-základová spára $\psi = 35.50^\circ$

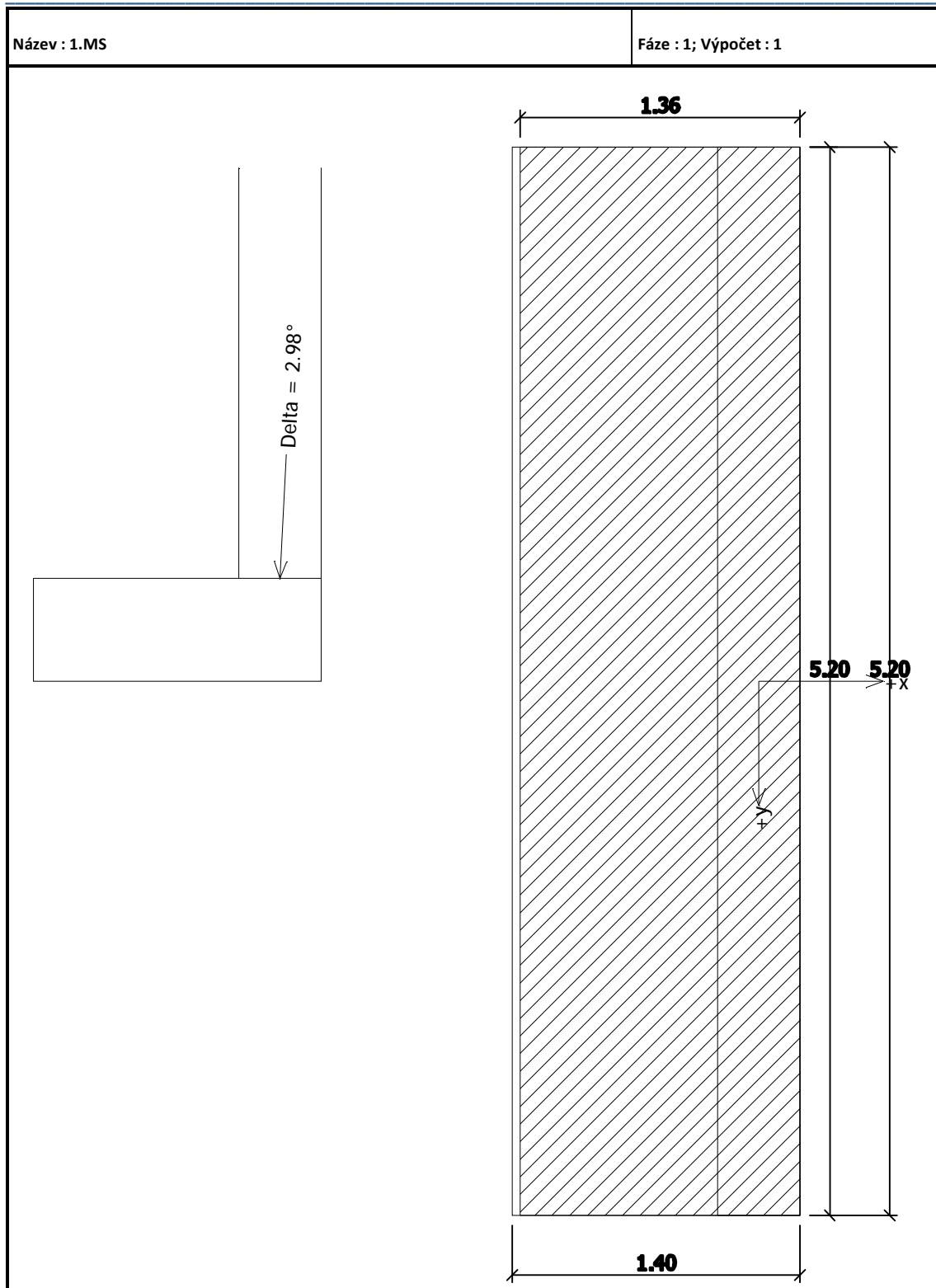
Soudržnost základ-základová spára $a = 0.00 \text{ kPa}$

Horizontální únosnost základu $R_{dh} = 729.18 \text{ kN}$

Extrémní horizontální síla $H = 68.00 \text{ kN}$

Vodorovná únosnost VYHOVUJE

Únosnost základu VYHOVUJE



Posouzení čís. 1

Sednutí a natočení základu - vstupní data

Výpočet proveden s automatickým výběrem nejnepříznivějších zatěžovacích stavů.

Výpočet proveden s uvažováním koeficientu κ_1 (vliv hloubky založení).

Napětí v základové spáře uvažováno od upraveného terénu.

Spočtená vlastná tíha patky $G = 76.44 \text{ kN}$

Spočtená tíha nadloží $Z = 10.40 \text{ kN}$

Sednutí stredy hrany x - 1 $= 2.3 \text{ mm}$

Sednutí stredy hrany x - 2 $= 2.3 \text{ mm}$

Sednutí stredy hrany y - 1 $= 3.6 \text{ mm}$

Sednutí stredy hrany y - 2 $= 3.4 \text{ mm}$

Sednutí stredy základu $= 5.0 \text{ mm}$

Sednutí charakterist. bodu $= 3.5 \text{ mm}$

(1-hrana max.tlačená; 2-hrana min.tlačená)

Sednutí a natočení základu - výsledky

Tuhosť základu:

Spočtený vážený priemerný modul pretvárnosti $E_{def} = 39.89 \text{ MPa}$

Základ je ve směru délky tuhý ($k=37.68$)

Základ je ve směru šířky poddajný ($k=0.74$)

Celkové sednutí a natočení základu:

Sednutí základu $= 5.0 \text{ mm}$

Hĺbka deformačnej zóny $= 5.23 \text{ m}$

Natočení ve směru x $= 0.140 \text{ (tan*1000)}$

Natočení ve směru y $= 0.000 \text{ (tan*1000)}$

Dimenzace čís. 1

Výpočet proveden s automatickým výběrem najnepříznivějších zatěžovacích stavů.

Posouzení podélné výztuže základu ve směru x

Profil vložky $= 18.0 \text{ mm}$

Počet vložek $= 25$

Krytí výztuže $= 55.0 \text{ mm}$

Šířka průřezu $= 5.20 \text{ m}$

Výška průřezu $= 0.50 \text{ m}$

Stupeň vyztužení $\rho = 0.28 \% > 0.15 \% = \rho_{min}$

Poloha neutrálné osy $x = 0.03 \text{ m} < 0.27 \text{ m} = x_{max}$

Moment na mezi únosnosti $M_{Rd} = 1169.18 \text{ kNm} > 482.48 \text{ kNm} = M_{Ed}$

Průřez VYHOVUJE.

214--00		DATE 22.10.12		UNITS: kN m		<div><div></div><div>x2</div><div>x1</div></div>															
View: ZD																					
Zahusťiť v smere X1-Z																					
<div><div></div><div>1.20</div><div></div></div>																					
<div><div></div><div>0.75</div><div></div></div>																					
915	916	917	918	919	920	921	922	923	924	925	926	927	928	929	930	931	932	933	934		
935	936	937	938	939	940	941	942	943	944	945	946	947	948	949	950	951	952	953	954		
955	956	957	958	959	960	961	962	963	964	965	966	967	968	969	970	971	972	973	974		
975	976	977	978	979	980	981	982	983	984	985	986	987	988	989	990	991	992	993	994		
995	996	997	998	999	1000	1001	1002	1003	1004	1005	1006	1007	1008	1009	1010	1011	1012	1013	1014		
<div><div></div><div>1.20</div><div></div></div>																					
<div><div></div><div>0.75</div><div></div></div>																					
2533	2534	2535	2536	2537	2538	2539	2540	2541	2542	2543	2544	2545	2546	2547	2548	2549	2550	2551	2552		
2553	2554	2555	2556	2557	2558	2559	2560	2561	2562	2563	2564	2565	2566	2567	2568	2569	2570	2571	2572		
2573	2574	2575	2576	2577	2578	2579	2580	2581	2582	2583	2584	2585	2586	2587	2588	2589	2590	2591	2592		
2593	2594	2595	2596	2597	2598	2599	2600	2601	2602	2603	2604	2605	2606	2607	2608	2609	2610	2611	2612		
2613	2614	2615	2616	2617	2618	2619	2620	2621	2622	2623	2624	2625	2626	2627	2628	2629	2630	2631	2632		
<div><div></div><div>4.99</div><div></div></div>																					
Zahusťiť v smere X1-Z																					
<div><div></div><div>0.76</div><div></div></div>																					
Zahusťiť v smere X1-Z																					
2423	2424	2425	2426	2427	2428	2429	2430	2431	2432	2433	2434	2435	2436	2437	2438	2439	2440	2441	2442	2443	2444
2445	2446	2447	2448	2449	2450	2451	2452	2453	2454	2455	2456	2457	2458	2459	2460	2461	2462	2463	2464	2465	2466
2467	2468	2469	2470	2471	2472	2473	2474	2475	2476	2477	2478	2479	2480	2481	2482	2483	2484	2485	2486	2487	2488
2489	2490	2491	2492	2493	2494	2495	2496	2497	2498	2499	2500	2501	2502	2503	2504	2505	2506	2507	2508	2509	2510
2511	2512	2513	2514	2515	2516	2517	2518	2519	2520	2521	2522	2523	2524	2525	2526	2527	2528	2529	2530	2531	2532
<div><div></div><div>1.20</div><div></div></div>																					
<div><div></div><div>0.75</div><div></div></div>																					
2633	2634	2635	2636	2637	2638	2639	2640	2641	2642	2643	2644	2645	2646	2647	2648	2649	2650	2651	2652	2653	2654
2655	2656	2657	2658	2659	2660	2661	2662	2663	2664	2665	2666	2667	2668	2669	2670	2671	2672	2673	2674	2675	2676
2677	2678	2679	2680	2681	2682	2683	2684	2685	2686	2687	2688	2689	2690	2691	2692	2693	2694	2695	2696	2697	2698
2699	2700	2701	2702	2703	2704	2705	2706	2707	2708	2709	2710	2711	2712	2713	2714	2715	2716	2717	2718	2719	2720
2721	2722	2723	2724	2725	2726	2727	2728	2729	2730	2731	2732	2733	2734	2735	2736	2737	2738	2739	2740	2741	2742
<div><div></div><div>5.55</div><div></div></div>																					
Zahusťiť v smere X1-Z																					
<div><div></div><div>0.76</div><div></div></div>																					

